



Ultrasound Transducer Assembly Analysis Report



Relevant Information

Device Under Test (DUT)

Make	Model	No. of Elem./Row	No. of Row	Type of Array	Nominal Freq.	Serial Number
GE	ML6-15-RS	336	3	1.25D/1.5D Linear	4.3-13 MHz	224545YP4

Test Conditions

Measurement		Reference Drive Signal	Acoustic Mirror	XDCR Immersed in Water Bath ①
1	Capacitance Measurement	<i>Not required</i>	<i>Not required</i>	<i>Not required</i>
2	Intrinsic Characteristics Measurement	-45 V, 0,4µJ, DC-45 MHz, unipolar pulse	MAFS Flat, aluminum; B-side Up	Yes
3	Transmission Crosstalk Measurement with Optimum Drive Waveform Signal, $B(t)$	Optimum Drive Waveform Signal, $B(t)$	<i>Not required</i>	Yes

Note:

① Temperature of water bath: 22,0 °C

Active rows: all rows

ProCheck SC5 UTAS

Sub-System	Model	Serial Number / Version	Note
Ultrasound Transducer Analyzer	PCSC5TA	UFMEBJABB	
Probe Adaptor	GE260T408ME	UA0BCBAAB	Receptacle: C260Tyco-F
Software	Innovator	Ver. R1.03I	
Dedicated USB Cable	---	---	

Source File

Measurement data file [xxx.PCMF]	C:\..._UAR MESSDATEN\20220310112747_SN224545YP4 all rows.PCMF
Probe configuration file [xxx.PCCF]	C:\...\GE\GE ML6-15-RS_All Rows_GE260T408ME.PCCF

Operator: Harald Fuchshofer

Date of Test: 10-Mar-2022



Ultrasound Transducer Assembly Analysis Report



Outline

- 1) Capacitance Measurement
 - 1.1) Statistics
 - 1.2) Excluded element(s)
 - 1.3) Element(s) with intermittent problem
 - 1.4) Uniformity of total capacitance C_T across elements
 - 1.4.1) Coefficient of Variation (CV)
 - 1.4.2) Bar chart
 - 1.4.3) Bar chart within an acceptance window, such as [Mean \pm 10,0%]
 - 1.5) Data of measurement
- 2) Intrinsic Characteristics Measurement
 - 2.1) Statistics
 - 2.2) Excluded element(s)
 - 2.3) Uniformity of characteristic loop sensitivity S_{LC} across elements
 - 2.3.1) Coefficient of Variation (CV)
 - 2.3.2) Bar chart within a 48 dB window
 - 2.3.3) Bar chart within an acceptance window, such as [Mean \pm 1,5 dB]
 - 2.4) Typical normalized loop time response $X(t)$, typical wideband loop sensitivity $S_L(f)$, and optimum drive waveform signal $B(t)$
 - 2.5) Relevant $X(t)$ and $S_L(f)$ of selected elements
 - 2.6) Bar chart of pertinent parameters
 - 2.7) Data of measurement
- 3) Transmission Crosstalk Measurement with Optimum Drive Waveform Signal $B(t)$
 - 3.1) Statistics
 - 3.2) Excluded element(s)
 - 3.3) Reference drive signal $B'(t)$
 - 3.4) Data of measurement

Device Under Test (DUT)

Make	Model	No. of Elem./Row	No. of Row	Type of Array	Nominal Freq.	Serial Number
GE	ML6-15-RS	336	3	1.25D/1.5D Linear	4.3-13 MHz	224545YP4

(Active rows: all rows)



Ultrasound Transducer Assembly Analysis Report



1) Capacitance Measurement (summary page)

1.1.) Statistics

Parameter	C_T (pF)
Mean	427
S.D. (standard deviation)	27
Max.	478
Min.	310
Number of elements per row	336 (Active rows: all rows)
Number of elements per row being analyzed	336

C_T : Total capacitance including capacitance of coaxial cable C_{cable} , capacitance of transducer element $C_{element}$, and capacitance of HVSW (high voltage switch) ICs C_{HVSW} if existed, as given by: $C_T = C_{cable} + C_{element} + C_{HVSW}$

1.2) Excluded element(s)

Total number of excluded element(s) per row	0		
Auto-excluded element(s) pre row	---	Subtotal	0
Manually excluded element(s) per row	---	Subtotal	0

1.3) Element(s) with intermittent problem

Element(s) with intermittent problem	---	Total	0
--------------------------------------	-----	-------	---

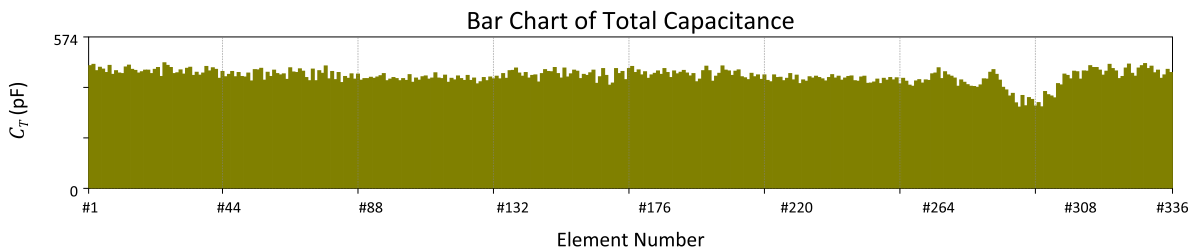
1.4.) Uniformity of total capacitance C_T across elements being analyzed

1.4.1) Coefficient of Variation (CV) of C_T

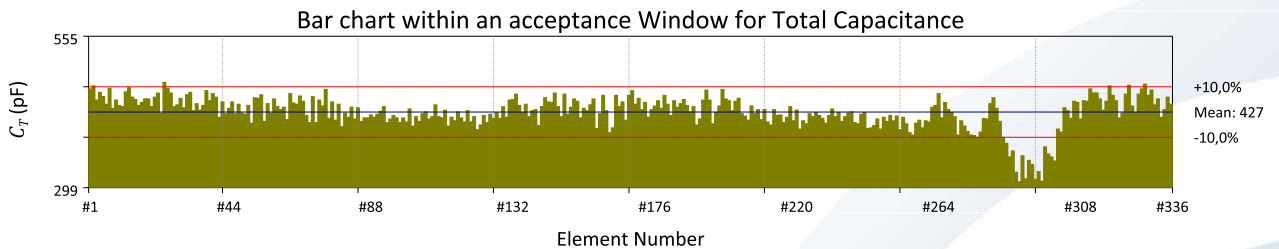
Coefficient of Variation (CV) of C_T	6,40 % (< 3,00 %)
--	-------------------

① The CV (coefficient of variation) describes the S.D. as a percentage of the mean, as given by: $CV = (S.D. / \text{mean}) \times 100 (\%)$
 ② Note that the "0,0% of CV" means perfect uniformity across elements.

1.4.2) Bar chart of C_T



1.4.3) Bar chart within an acceptance window, such as [Mean \pm 10,0%], for C_T



Device Under Test (DUT)

Make	Model	No. of Elem./Row	No. of Row	Type of Array	Nominal Freq.	Serial Number
GE	ML6-15-RS	336	3	1.25D/1.5D Linear	4.3-13 MHz	224545YP4

(Active rows: all rows)



Ultrasound Transducer Assembly Analysis Report



1) Capacitance Measurement (cont'd)

1.5) Data of measurement

Element Number	C_T (pF)	Element Number	C_T (pF)	Element Number	C_T (pF)	Element Number	C_T (pF)	Element Number	C_T (pF)	Element Number	C_T (pF)
1	467	57	426	113	419	169	464	225	420	281	452
2	472	58	450	114	413	170	441	226	427	282	434
3	448	59	437	115	428	171	451	227	422	283	412
4	461	60	432	116	418	172	432	228	417	284	385
5	454	61	436	117	411	173	444	229	409	285	375
6	441	62	415	118	430	174	419	230	422	286	352
7	468	63	459	119	411	175	432	231	433	287	362
8	434	64	443	120	420	176	438	232	420	288	326
9	448	65	441	121	398	177	447	233	427	289	310
10	439	66	455	122	406	178	434	234	412	290	354
11	437	67	446	123	422	179	456	235	420	291	315
12	462	68	422	124	410	180	441	236	426	292	346
13	469	69	410	125	424	181	422	237	428	293	339
14	453	70	454	126	417	182	447	238	410	294	314
15	449	71	410	127	427	183	436	239	408	295	327
16	439	72	448	128	417	184	442	240	424	296	311
17	444	73	438	129	437	185	449	241	427	297	369
18	450	74	466	130	419	186	439	242	400	298	357
19	450	75	417	131	448	187	428	243	401	299	352
20	437	76	445	132	449	188	437	244	405	300	345
21	453	77	414	133	458	189	406	245	416	301	399
22	460	78	441	134	439	190	416	246	399	302	394
23	426	79	403	135	427	191	448	247	419	303	435
24	478	80	426	136	441	192	465	248	412	304	430
25	468	81	419	137	420	193	448	249	422	305	417
26	460	82	436	138	430	194	408	250	413	306	446
27	437	83	416	139	432	195	427	251	421	307	444
28	440	84	435	140	405	196	438	252	398	308	416
29	451	85	412	141	437	197	466	253	419	309	447
30	435	86	418	142	452	198	450	254	408	310	446
31	457	87	418	143	445	199	447	255	393	311	467
32	461	88	423	144	444	200	430	256	389	312	460
33	430	89	419	145	460	201	446	257	409	313	460
34	442	90	424	146	437	202	451	258	414	314	450
35	431	91	429	147	420	203	425	259	401	315	431
36	439	92	437	148	458	204	421	260	413	316	446
37	464	93	410	149	424	205	414	261	411	317	472
38	447	94	416	150	436	206	438	262	436	318	456
39	459	95	422	151	450	207	425	263	439	319	447
40	453	96	418	152	446	208	432	264	459	320	418
41	419	97	410	153	418	209	415	265	418	321	426
42	445	98	418	154	434	210	432	266	444	322	458
43	425	99	411	155	430	211	411	267	432	323	473
44	434	100	433	156	440	212	406	268	427	324	438
45	445	101	404	157	450	213	432	269	420	325	427
46	425	102	420	158	400	214	422	270	389	326	458
47	441	103	412	159	425	215	423	271	413	327	467
48	426	104	425	160	456	216	410	272	404	328	475
49	424	105	428	161	430	217	419	273	395	329	456
50	439	106	416	162	393	218	437	274	389	330	465
51	409	107	420	163	401	219	413	275	388	331	440
52	452	108	440	164	456	220	431	276	385	332	450
53	451	109	420	165	437	221	399	277	394	333	419
54	457	110	418	166	445	222	413	278	417	334	432
55	412	111	431	167	414	223	408	279	416	335	453
56	442	112	404	168	456	224	425	280	442	336	441
Element Number	C_T (pF)	Element Number	C_T (pF)	Element Number	C_T (pF)	Element Number	C_T (pF)	Element Number	C_T (pF)	Element Number	C_T (pF)

Device Under Test (DUT)

Make	Model	No. of Elem./Row	No. of Row	Type of Array	Nominal Freq.	Serial Number
GE	ML6-15-RS	336	3	1.25D/1.5D Linear	4.3-13 MHz	224545YP4

(Active rows: all rows)



Ultrasound Transducer Assembly Analysis Report



2) Intrinsic Characteristics Measurement

(summary page)

2.1) Statistics

Group	Characteristic Loop Sensitivity S_{LC}			Normalized Loop Time Response $X(t)$				Wideband Loop Sensitivity $S_L(f)$							
	S_{LC} (dB)	t_F (μ s)	d (mm)	t_D (μ s)	t_{-12} (μ s)	t_{-20} (μ s)	t_{-26} (μ s)	f_{c-6} (MHz)	BW_{-6} (%)	f_{c-10} (MHz)	BW_{-10} (%)	f_{c-20} (MHz)	BW_{-20} (%)	f_{c-30} (MHz)	BW_{-30} (%)
Mean	-61,7	20,2	15,0	0,30	0,33	1,43	5,92	8,6	82	9,1	98	9,6	121	9,5	139
S.D.	2,4	0,0	0,0	0,76	0,56	2,04	3,34	4,8	9	5,8	8	7,6	6	7,4	8
Max.	-59,0	20,2	15,1	6,26	8,29	8,29	8,29	59,3	95	88,8	107	89,3	131	87,9	155
Min.	-74,9	20,1	15,0	0,15	0,25	0,45	0,54	7,6	1	7,8	2	8,3	69	8,3	73
Number of elements per row				336 (Active rows: all rows)											
Number of elements per row being analyzed				336											
*Characteristic Loop Sensitivity				*Wideband Loop Sensitivity $S_L(f)$											
S_{LC} : Characteristic loop sensitivity				f_{c-6} : Center frequency of -6 dB limit of $S_L(f)$											
t_F : Time of flight or round-trip acoustic traveling time between transducer and acoustic mirror in degassed water bath				BW_{-6} : Fractional bandwidth of -6 dB limit of $S_L(f)$											
d : Axial distance between transducer assembly and mirror				f_{c-10} : Center frequency of -10 dB limit of $S_L(f)$											
*Normalized Loop Time Response $X(t)$				BW_{-10} : Fractional bandwidth of -10 dB limit of $S_L(f)$											
t_D : Temporal duration of $X(t)$				f_{c-20} : Center frequency of -20 dB limit of $S_L(f)$											
t_{-12} : Temporal length of -12 dB ring-down of $X(t)$				BW_{-20} : Fractional bandwidth of -20 dB limit of $S_L(f)$											
t_{-20} : Temporal length of -20 dB ring-down of $X(t)$				f_{c-30} : Center frequency of -30 dB limit of $S_L(f)$											
t_{-26} : Temporal length of -26 dB ring-down of $X(t)$				BW_{-30} : Fractional bandwidth of -30 dB limit of $S_L(f)$											

2.2) Excluded element(s)

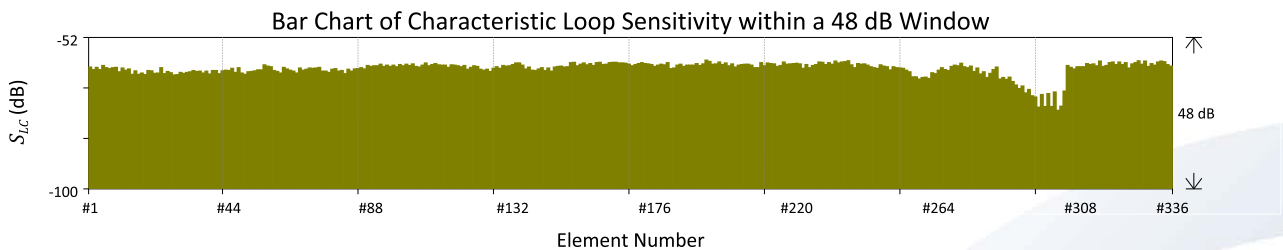
Total number of excluded element(s) per row	0		
Auto-excluded element(s) pre row	---	Subtotal	0
Manually excluded element(s) per row	---	Subtotal	0

2.3) Uniformity of characteristic loop sensitivity S_{LC} across elements being analyzed

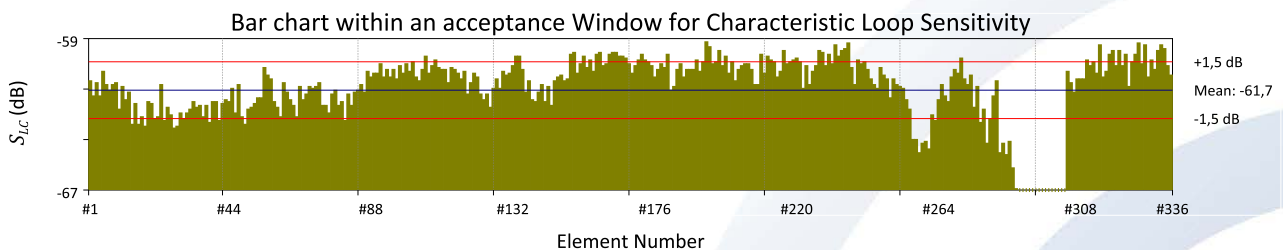
2.3.1) Coefficient of Variation (CV) of S_{LC}

Coefficient of Variation (CV) of S_{LC}	3,86 % (< 3,00 %)
<ul style="list-style-type: none"> The CV (coefficient of variation) describes the S.D. as a percentage of the mean, as given by: $CV = (S.D. / \text{mean}) \times 100 (\%)$ Note that the "0,0% of CV" means perfect uniformity across elements. 	

2.3.2) Bar chart of S_{LC} within a 48 dB window



2.3.3) Bar chart within an acceptance window, such as [Mean \pm 1,5 dB], for S_{LC}



Device Under Test (DUT)

Make	Model	No. of Elem./Row	No. of Row	Type of Array	Nominal Freq.	Serial Number
GE	ML6-15-RS	336	3	1.25D/1.5D Linear	4.3-13 MHz	224545YP4

(Active rows: all rows)



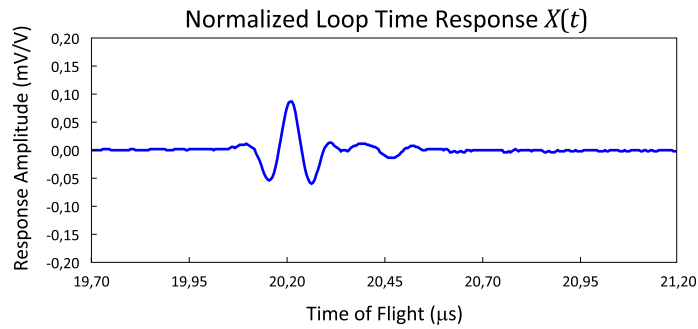
Ultrasound Transducer Assembly Analysis Report



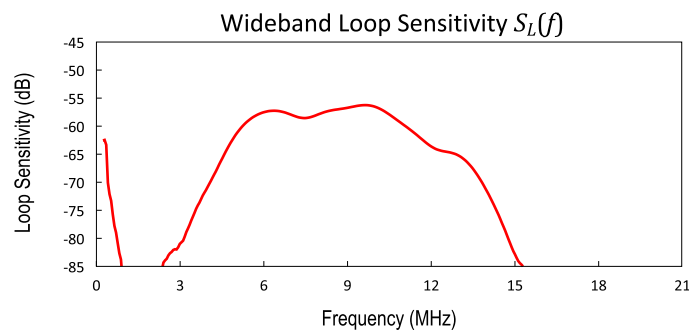
2) Intrinsic Characteristics Measurement (cont'd)

2.4) Typical $X(t)$, typical $S_L(f)$, and $B(t)$

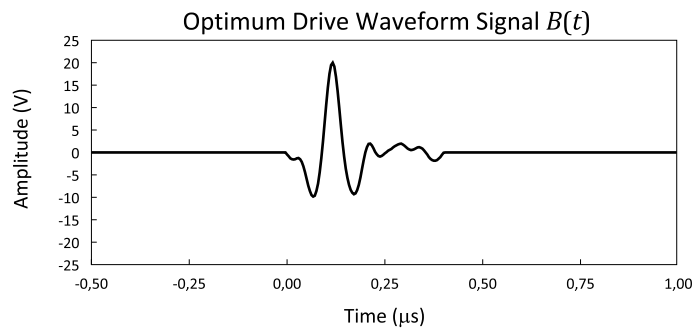
Typical $X(t)$



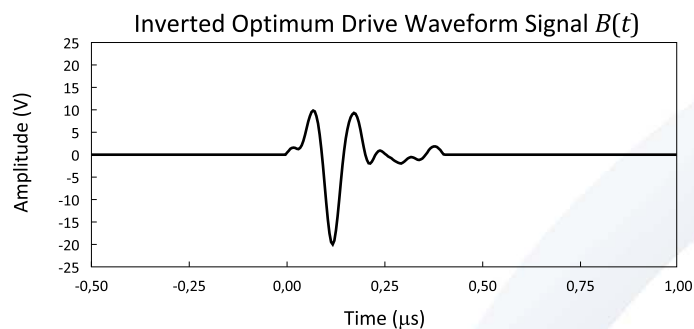
Typical $S_L(f)$



$B(t)$



Inverted $B(t)$



Device Under Test (DUT)

Make	Model	No. of Elem./Row	No. of Row	Type of Array	Nominal Freq.	Serial Number
GE	ML6-15-RS	336	3	1.25D/1.5D Linear	4.3-13 MHz	224545YP4

(Active rows: all rows)



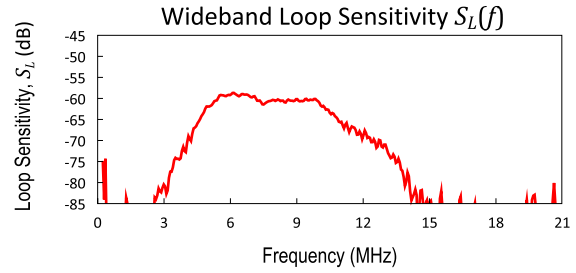
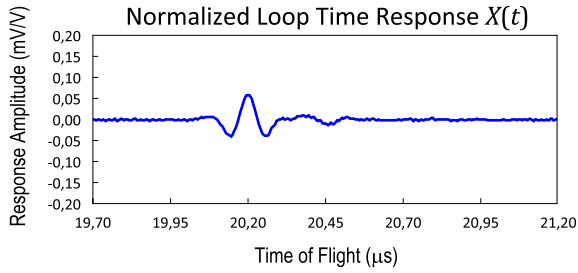
Ultrasound Transducer Assembly Analysis Report



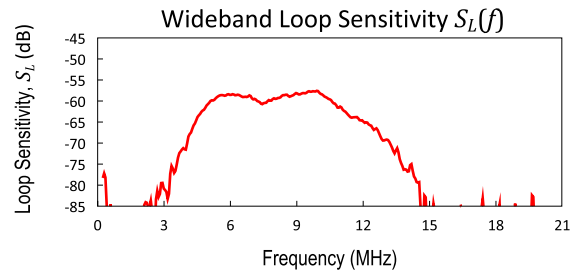
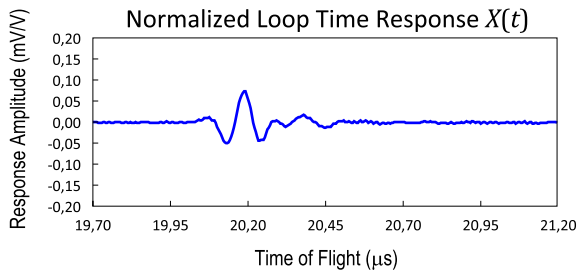
2) Intrinsic Characteristics Measurement (cont'd)

2.5) Relevant $X(t)$ and $S_L(f)$ of selected elements

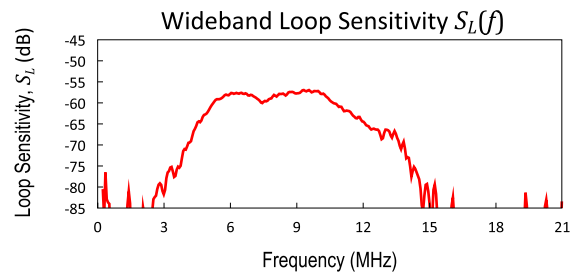
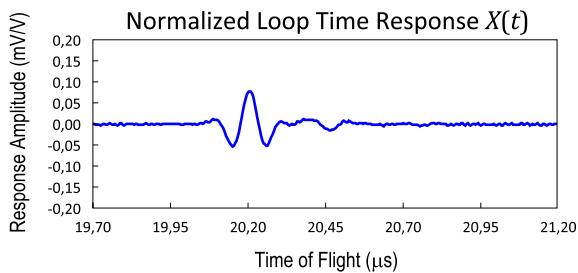
*Element # 34



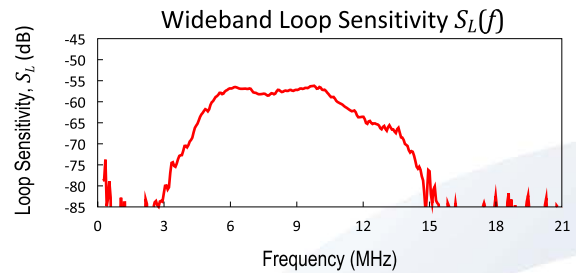
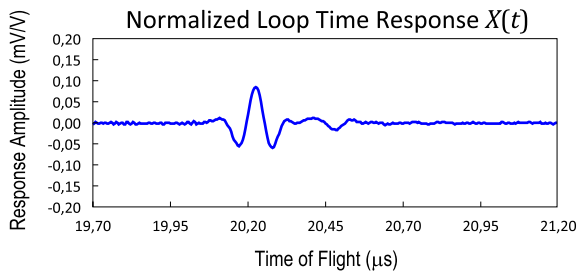
*Element # 102



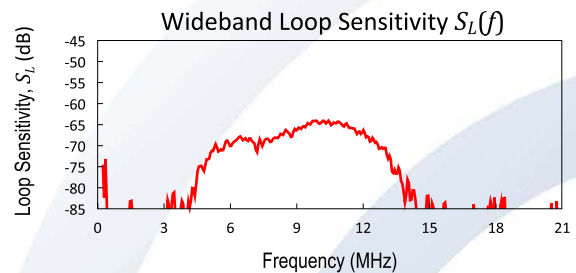
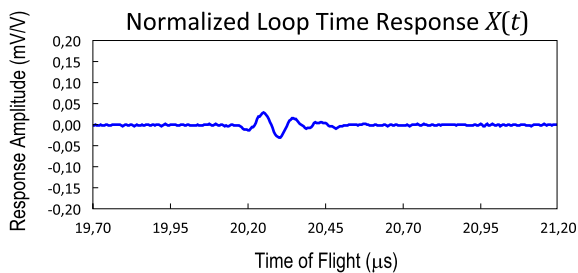
*Element # 168



*Element # 234



*Element # 300



Device Under Test (DUT)

Make	Model	No. of Elem./Row	No. of Row	Type of Array	Nominal Freq.	Serial Number
GE	ML6-15-RS	336	3	1.25D/1.5D Linear	4.3-13 MHz	224545YP4

(Active rows: all rows)

Ortner Medizintechnik e.U. • Strauchweg 26 TOP 1-3 • A-8501 Lieboch • +43 (0) 3136-62155 • office@ort-med.com

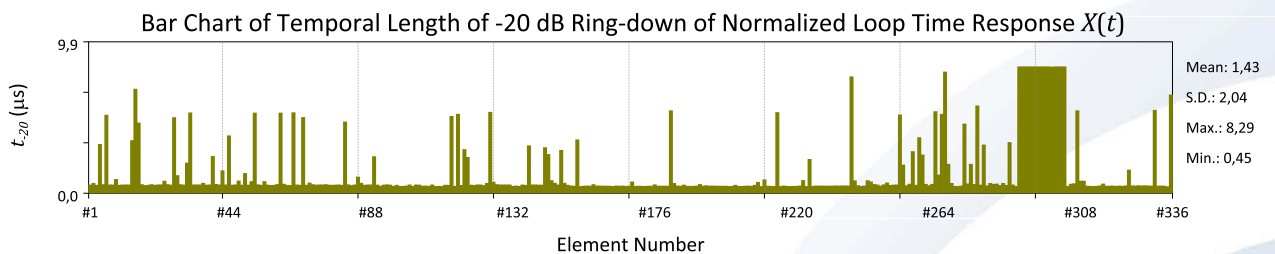
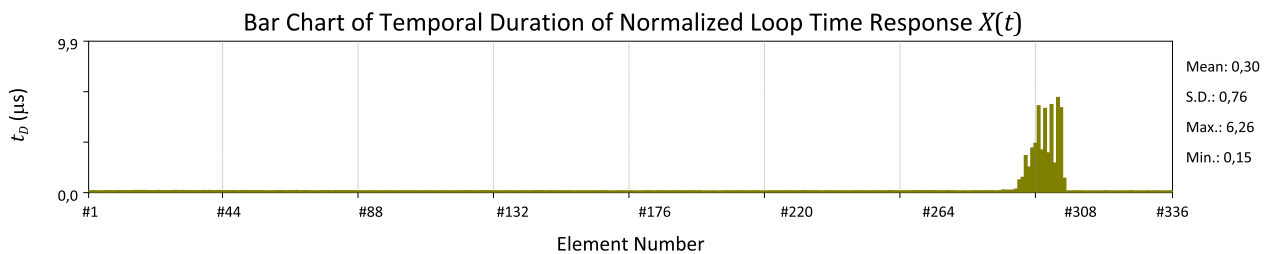
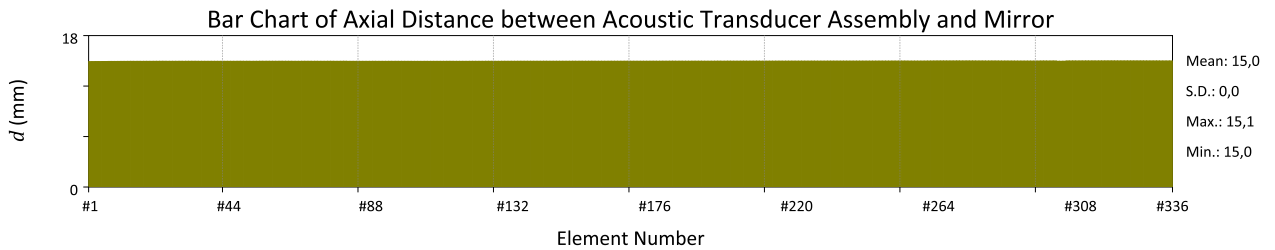
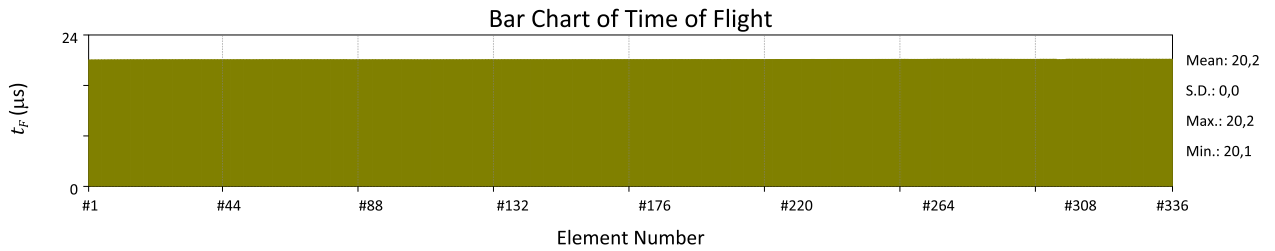
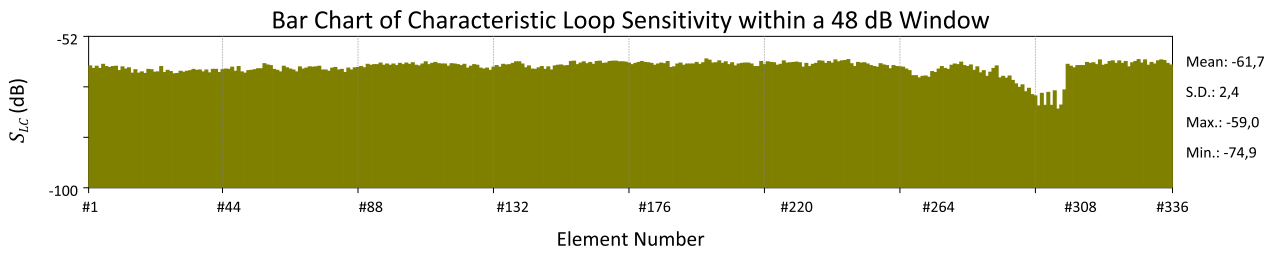


Ultrasound Transducer Assembly Analysis Report



2) Intrinsic Characteristics Measurement (cont'd)

2.6) Bar chart of pertinent parameters



Device Under Test (DUT)

Make	Model	No. of Elem./Row	No. of Row	Type of Array	Nominal Freq.	Serial Number
GE	ML6-15-RS	336	3	1.25D/1.5D Linear	4.3-13 MHz	224545YP4

(Active rows: all rows)

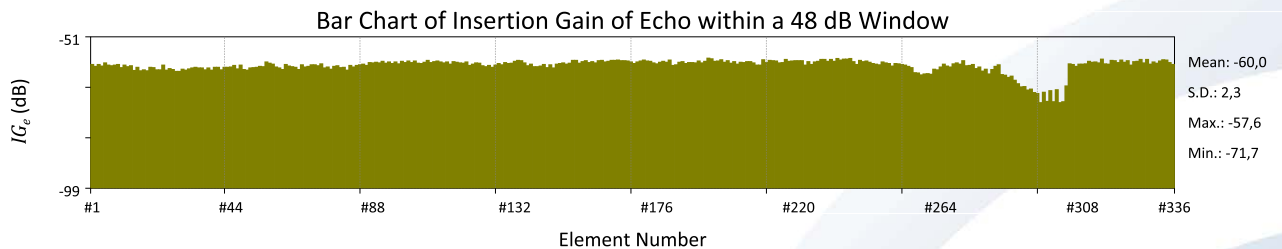
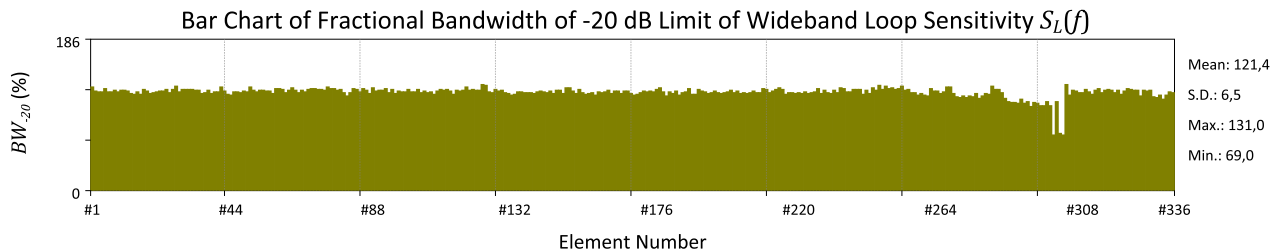
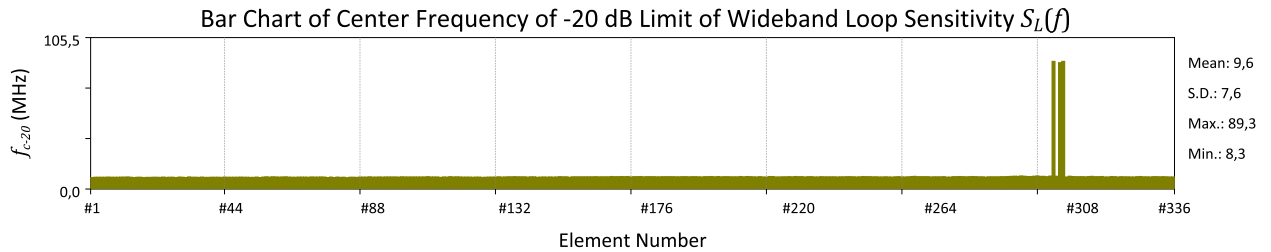
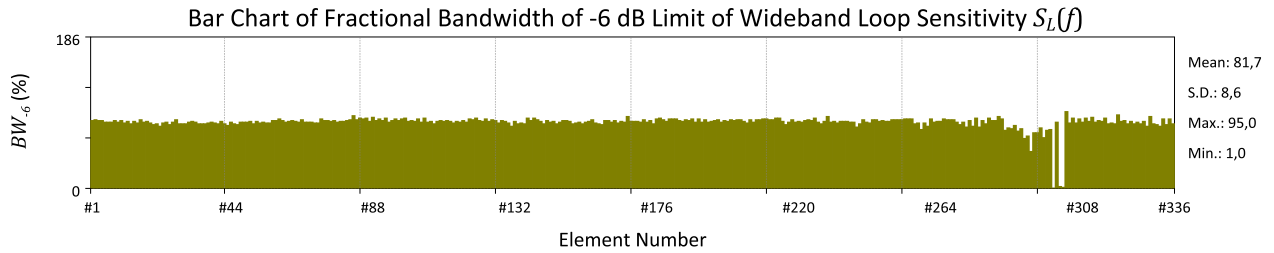
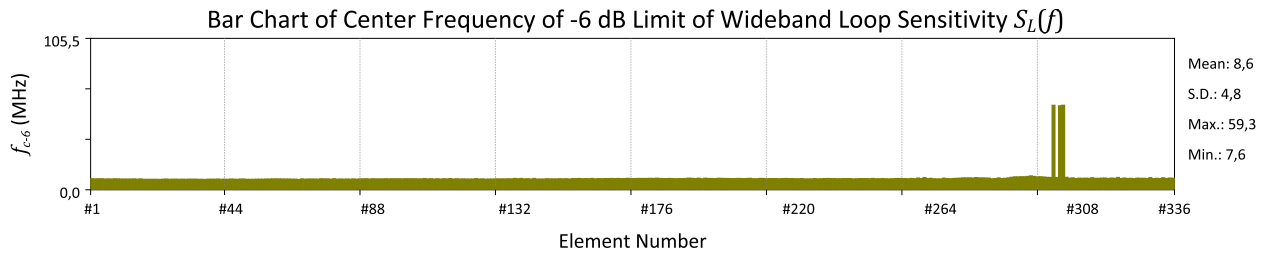


Ultrasound Transducer Assembly Analysis Report



2) Intrinsic Characteristics Measurement (cont'd)

2.6) Bar chart of pertinent parameters (cont'd)



Device Under Test (DUT)

Make	Model	No. of Elem./Row	No. of Row	Type of Array	Nominal Freq.	Serial Number
GE	ML6-15-RS	336	3	1.25D/1.5D Linear	4.3-13 MHz	224545YP4

(Active rows: all rows)



Ultrasound Transducer Assembly Analysis Report



2) Intrinsic Characteristics Measurement (cont'd)

2.7) Data of measurement

Group	Characteristic Loop Sensitivity S_{LC}			Normalized Loop Time Response $X(t)$				Wideband Loop Sensitivity $S_i(f)$							
	Element Number	S_{LC} (dB)	t_F (μ s)	d (mm)	t_D (μ s)	t_{-12} (μ s)	t_{-20} (μ s)	t_{-26} (μ s)	f_{c-6} (MHz)	BW_{-6} (%)	f_{c-10} (MHz)	BW_{-10} (%)	f_{c-20} (MHz)	BW_{-20} (%)	f_{c-30} (MHz)
1	-61,2	20,1	15,0	0,16	0,28	0,56	8,29	8,1	84	8,4	99	8,4	128	8,6	141
2	-62,0	20,1	15,0	0,17	0,27	0,67	8,29	8,0	85	8,5	100	8,6	123	8,6	146
3	-61,3	20,1	15,0	0,16	0,27	0,55	8,29	8,1	84	8,7	102	8,6	122	8,6	146
4	-62,0	20,1	15,0	0,16	0,27	3,22	8,29	8,1	84	8,5	100	8,6	122	8,6	132
5	-60,7	20,1	15,0	0,16	0,28	0,59	8,29	7,9	82	8,4	99	8,6	126	8,6	148
6	-61,4	20,1	15,0	0,17	0,28	5,13	8,29	8,0	82	8,3	97	8,7	122	8,6	142
7	-61,7	20,1	15,0	0,17	0,27	0,57	8,29	7,9	82	8,2	96	8,6	122	8,3	149
8	-61,4	20,1	15,0	0,16	0,28	0,57	8,29	8,1	84	8,6	100	8,6	124	8,4	140
9	-61,3	20,1	15,0	0,17	0,28	0,93	8,29	8,0	82	8,1	93	8,6	122	8,5	140
10	-62,7	20,1	15,0	0,17	0,26	0,55	8,29	7,9	84	8,4	100	8,7	124	8,6	139
11	-61,5	20,1	15,0	0,17	0,28	0,57	8,29	7,9	81	8,3	100	8,7	124	8,5	140
12	-62,2	20,1	15,0	0,17	0,28	0,57	8,29	7,9	83	8,5	100	8,8	123	8,5	148
13	-61,8	20,2	15,0	0,17	0,28	0,57	8,29	7,9	80	8,1	94	8,6	120	8,6	136
14	-63,5	20,2	15,0	0,17	0,28	3,47	8,29	8,0	83	8,6	101	8,4	119	8,5	136
15	-62,4	20,2	15,0	0,18	0,42	6,83	8,29	7,8	81	8,2	97	8,6	122	8,3	149
16	-63,5	20,2	15,0	0,18	0,38	4,62	8,29	8,0	85	8,3	100	8,6	119	8,7	135
17	-63,1	20,2	15,0	0,18	0,40	0,59	8,29	7,7	82	7,8	94	8,4	125	8,5	144
18	-63,6	20,2	15,0	0,18	0,29	0,53	8,29	7,7	83	8,2	100	8,5	123	8,5	146
19	-62,3	20,2	15,0	0,17	0,27	0,55	8,29	7,7	81	8,1	97	8,5	120	8,6	138
20	-62,4	20,2	15,0	0,17	0,40	0,59	8,29	7,7	79	8,0	95	8,6	121	8,5	143
21	-63,2	20,2	15,0	0,17	0,28	0,55	8,29	7,7	80	7,9	95	8,6	122	8,6	141
22	-63,1	20,2	15,0	0,18	0,41	0,57	8,29	7,6	77	8,0	94	8,5	123	8,4	141
23	-61,4	20,2	15,0	0,17	0,28	0,58	8,29	7,8	81	8,3	97	8,7	123	8,5	146
24	-63,3	20,2	15,0	0,17	0,28	0,82	8,29	7,9	82	8,1	98	8,5	125	8,6	150
25	-62,6	20,2	15,0	0,17	0,30	0,59	8,29	7,7	79	8,3	98	8,6	121	8,8	136
26	-63,0	20,2	15,0	0,17	0,29	0,56	8,29	7,8	82	8,1	97	8,6	125	8,9	142
27	-63,7	20,2	15,0	0,18	0,28	4,97	8,29	7,8	85	8,0	96	8,4	129	8,3	151
28	-63,6	20,2	15,0	0,18	0,29	1,18	8,29	7,7	80	8,2	98	8,7	122	8,6	144
29	-62,9	20,2	15,0	0,17	0,38	0,59	8,29	7,8	80	8,1	95	8,6	125	8,7	140
30	-63,2	20,2	15,0	0,18	0,41	0,56	8,29	7,7	80	8,0	92	8,4	125	8,7	135
31	-62,9	20,2	15,0	0,17	0,29	2,00	8,29	7,8	82	8,2	100	8,8	125	8,5	144
32	-62,7	20,2	15,0	0,17	0,38	5,28	8,23	7,8	83	8,2	99	8,6	125	8,5	138
33	-62,3	20,2	15,0	0,17	0,26	0,57	8,29	7,8	82	8,0	98	8,6	124	8,5	143
34	-62,6	20,2	15,0	0,17	0,41	0,57	8,29	7,7	80	8,2	96	8,5	124	8,5	140
35	-62,5	20,2	15,0	0,17	0,42	0,57	8,29	7,7	80	7,9	95	8,7	120	8,9	133
36	-63,1	20,2	15,0	0,18	0,40	0,68	8,29	7,6	80	8,0	96	8,5	121	8,3	140
37	-62,5	20,2	15,0	0,17	0,40	0,56	8,29	7,8	81	8,1	97	8,5	124	8,6	142
38	-63,4	20,2	15,0	0,18	0,40	0,57	8,29	7,8	82	8,2	100	8,6	120	8,6	141
39	-62,3	20,2	15,0	0,17	0,27	2,43	8,29	7,8	81	8,2	96	8,6	122	8,9	140
40	-62,3	20,2	15,0	0,17	0,26	0,61	8,29	7,9	80	8,4	98	8,6	122	8,6	139
41	-63,3	20,2	15,0	0,18	0,40	0,57	8,29	7,7	83	8,0	97	8,5	128	8,6	141
42	-62,4	20,2	15,0	0,17	0,26	1,50	8,29	7,8	80	8,1	97	8,7	123	8,6	140
43	-62,2	20,2	15,0	0,17	0,27	0,57	8,29	7,7	78	7,9	93	8,6	119	8,4	137
44	-62,3	20,2	15,0	0,17	0,27	3,78	8,29	7,9	82	8,1	98	8,6	118	8,7	140
45	-61,6	20,2	15,0	0,17	0,28	0,56	8,29	7,8	80	8,1	96	8,6	122	8,6	134
46	-62,9	20,2	15,0	0,17	0,30	0,57	8,29	7,7	79	8,2	98	8,6	122	8,3	148
47	-61,4	20,2	15,0	0,16	0,28	0,83	8,29	7,9	82	8,5	101	8,7	121	8,6	146
48	-63,1	20,2	15,0	0,17	0,39	0,56	8,29	7,9	82	8,3	101	8,6	123	8,5	139
49	-63,5	20,2	15,0	0,18	0,39	1,32	8,29	7,7	82	8,4	101	8,6	122	9,0	138
50	-62,7	20,2	15,0	0,17	0,30	0,56	8,29	7,7	83	8,3	99	8,5	128	8,5	148
51	-62,6	20,2	15,0	0,17	0,41	0,79	8,29	7,7	80	8,1	98	8,5	124	8,5	140
52	-62,4	20,2	15,0	0,17	0,26	5,27	8,20	7,8	83	8,2	100	8,7	122	8,5	137
53	-62,1	20,2	15,0	0,17	0,27	0,58	8,29	7,8	81	8,1	97	8,4	124	8,3	143
54	-62,1	20,2	15,0	0,17	0,27	0,55	8,29	7,8	82	8,3	99	8,7	124	8,4	151
55	-60,5	20,2	15,0	0,16	0,28	0,79	8,29	7,9	81	8,5	99	8,9	123	8,8	140
56	-60,9	20,2	15,0	0,16	0,28	0,56	8,29	7,9	81	8,4	98	8,7	123	8,8	134
57	-61,1	20,2	15,0	0,16	0,27	0,54	8,29	8,0	84	8,3	99	8,9	120	8,6	155
58	-62,3	20,2	15,0	0,16	0,26	0,55	8,29	8,0	84	8,5	99	8,8	126	8,5	155
59	-62,6	20,2	15,0	0,17	0,26	0,60	8,29	8,0	86	8,5	100	8,7	126	8,7	141
60	-63,1	20,2	15,0	0,17	0,38	5,27	8,25	7,9	84	8,4	100	8,8	125	8,8	139
61	-61,3	20,2	15,0	0,17	0,28	0,62	8,29	7,9	82	8,2	98	8,9	121	8,5	145
62	-61,8	20,2	15,0	0,16	0,27	0,55	8,29	7,9	83	8,3	99	8,7	124	8,6	149
63	-62,2	20,2	15,0	0,17	0,27	0,54	8,29	7,8	84	8,1	99	8,6	127	8,5	143
64	-62,5	20,2	15,0	0,17	0,26	5,29	8,23	7,8	83	8,3	100	8,6	124	8,7	143
Element Number	S_{LC} (dB)	t_F (μ s)	d (mm)	t_D (μ s)	t_{-12} (μ s)	t_{-20} (μ s)	t_{-26} (μ s)	f_{c-6} (MHz)	BW_{-6} (%)	f_{c-10} (MHz)	BW_{-10} (%)	f_{c-20} (MHz)	BW_{-20} (%)	f_{c-30} (MHz)	BW_{-30} (%)
Group	Characteristic Loop Sensitivity S_{LC}			Normalized Loop Time Response $X(t)$				Wideband Loop Sensitivity $S_i(f)$							

Device Under Test (DUT)

Make	Model	No. of Elem./Row	No. of Row	Type of Array	Nominal Freq.	Serial Number
GE	ML6-15-RS	336	3	1.25D/1.5D Linear	4.3-13 MHz	224545YP4

Ortner Medizintechnik e.U. • Strauchweg 26 TOP 1-3 • A-8501 Lieboch • +43 (0) 3136-62155 • office@ort-med.com (Active rows: all rows)



Ultrasound Transducer Assembly Analysis Report



2) Intrinsic Characteristics Measurement (cont'd)

2.7) Data of measurement (cont'd)

Group	Characteristic Loop Sensitivity S_{LC}			Normalized Loop Time Response $X(t)$				Wideband Loop Sensitivity $S_i(f)$							
	Element Number	S_{LC} (dB)	t_F (μ s)	d (mm)	t_D (μ s)	t_{-12} (μ s)	t_{-20} (μ s)	t_{-26} (μ s)	f_{c-6} (MHz)	BW_{-6} (%)	f_{c-10} (MHz)	BW_{-10} (%)	f_{c-20} (MHz)	BW_{-20} (%)	f_{c-30} (MHz)
65	-63,1	20,2	15,0	0,18	0,40	0,57	8,29	7,6	82	7,9	96	8,7	121	8,6	146
66	-61,5	20,2	15,0	0,16	0,27	0,55	8,29	8,0	85	8,3	99	8,7	124	8,7	144
67	-62,2	20,2	15,0	0,17	0,26	4,98	8,29	7,8	82	8,2	97	8,7	122	8,6	150
68	-61,9	20,2	15,0	0,17	0,27	0,55	8,29	7,9	82	8,2	99	8,6	125	8,9	141
69	-61,5	20,2	15,0	0,16	0,27	0,70	8,29	7,9	82	8,3	98	8,8	126	8,7	136
70	-61,6	20,2	15,0	0,16	0,27	0,59	8,29	7,9	81	8,4	100	8,7	126	8,8	135
71	-61,5	20,2	15,0	0,16	0,27	0,56	8,29	7,8	81	8,2	96	8,7	125	9,0	138
72	-61,3	20,2	15,0	0,16	0,27	0,57	8,29	8,1	86	8,5	100	8,8	125	9,0	135
73	-62,5	20,2	15,0	0,17	0,26	0,57	8,29	8,0	84	8,4	102	8,7	124	8,7	132
74	-62,5	20,2	15,0	0,17	0,26	0,59	8,29	8,0	84	8,5	98	8,4	128	8,6	138
75	-62,9	20,2	15,0	0,17	0,39	0,56	8,29	7,8	83	8,2	98	8,7	126	8,4	148
76	-61,9	20,2	15,0	0,16	0,26	0,55	8,29	8,1	84	8,3	98	8,4	126	8,9	140
77	-61,7	20,2	15,0	0,17	0,27	0,56	8,29	7,8	82	8,2	97	8,7	124	8,7	141
78	-62,5	20,2	15,0	0,17	0,26	0,57	8,29	7,9	83	8,3	98	8,5	125	8,7	141
79	-62,3	20,2	15,0	0,17	0,27	0,55	8,29	7,8	83	8,2	99	8,6	121	8,5	141
80	-63,3	20,2	15,0	0,17	0,40	4,69	8,29	7,9	84	8,3	101	8,3	117	8,5	145
81	-61,9	20,2	15,0	0,17	0,27	0,58	8,29	7,8	85	8,5	101	8,6	121	8,7	139
82	-62,5	20,2	15,0	0,17	0,25	0,53	8,29	8,0	90	8,2	100	8,6	126	8,6	144
83	-61,8	20,2	15,0	0,17	0,27	0,57	8,29	7,8	85	8,3	99	8,5	125	8,4	138
84	-61,7	20,2	15,0	0,16	0,28	1,08	8,29	8,0	87	8,4	102	8,7	122	8,7	138
85	-61,4	20,2	15,0	0,16	0,27	0,68	8,29	8,0	86	8,5	100	8,7	126	8,6	141
86	-61,8	20,2	15,0	0,16	0,36	0,55	8,29	8,1	87	8,6	103	8,7	124	8,7	139
87	-60,7	20,2	15,0	0,16	0,28	0,57	8,29	7,9	83	8,5	101	8,9	120	8,8	142
88	-61,0	20,2	15,0	0,16	0,29	0,57	8,29	8,1	88	8,4	100	8,7	127	9,0	141
89	-60,8	20,2	15,0	0,16	0,28	2,42	8,29	8,0	84	8,4	99	8,7	123	8,8	138
90	-60,8	20,2	15,0	0,16	0,27	0,56	8,29	8,0	86	8,6	101	8,8	124	8,8	145
91	-60,3	20,2	15,0	0,16	0,25	0,49	0,57	8,0	84	8,5	100	8,7	124	8,8	141
92	-61,0	20,2	15,0	0,16	0,40	0,56	8,29	8,1	87	8,4	99	8,8	126	8,9	142
93	-60,6	20,2	15,0	0,16	0,38	0,58	8,29	8,0	82	8,4	99	8,8	121	8,9	141
94	-61,0	20,2	15,0	0,16	0,37	0,56	8,29	8,1	84	8,3	98	8,8	125	8,7	145
95	-60,6	20,2	15,0	0,16	0,26	0,48	3,30	8,1	86	8,4	99	8,8	120	9,2	140
96	-61,1	20,2	15,0	0,16	0,36	0,55	8,29	8,1	84	8,4	98	8,7	123	8,9	139
97	-60,4	20,2	15,0	0,16	0,25	0,48	0,79	8,0	86	8,6	100	8,9	122	9,0	142
98	-60,8	20,2	15,0	0,16	0,25	0,48	0,57	8,1	87	8,5	101	8,8	122	8,9	137
99	-60,3	20,2	15,0	0,16	0,26	0,50	0,60	8,1	83	8,5	99	8,8	125	8,8	142
100	-60,7	20,2	15,0	0,16	0,38	0,57	8,29	8,1	84	8,7	101	8,8	122	8,5	142
101	-60,2	20,2	15,0	0,16	0,26	0,48	0,55	8,1	83	8,3	98	8,8	122	8,9	142
102	-61,0	20,2	15,0	0,16	0,38	0,57	8,29	8,0	86	8,5	101	8,8	125	8,6	139
103	-61,2	20,2	15,0	0,16	0,28	0,56	8,29	8,0	82	8,3	99	8,8	121	8,5	147
104	-60,6	20,2	15,0	0,16	0,25	0,49	0,57	8,2	87	8,5	102	8,8	123	9,0	139
105	-59,9	20,2	15,0	0,16	0,26	0,50	0,58	8,0	82	8,5	99	9,0	121	8,8	140
106	-60,8	20,2	15,0	0,16	0,25	0,48	0,55	8,1	83	8,5	101	8,8	122	8,8	137
107	-60,4	20,2	15,0	0,16	0,28	0,57	8,29	7,9	80	8,4	98	8,8	119	8,5	144
108	-60,1	20,2	15,0	0,16	0,26	0,47	0,55	8,1	83	8,5	98	8,8	123	9,1	143
109	-60,5	20,2	15,0	0,16	0,26	0,48	0,56	7,9	84	8,3	98	8,5	125	8,8	146
110	-60,6	20,2	15,0	0,16	0,26	0,47	0,54	8,1	83	8,4	99	8,8	124	8,5	140
111	-60,6	20,2	15,0	0,16	0,28	0,55	8,29	8,0	84	8,6	101	8,7	125	9,0	140
112	-61,3	20,2	15,0	0,16	0,27	0,55	8,29	8,2	83	8,4	97	9,0	123	8,8	143
113	-60,5	20,2	15,0	0,16	0,37	5,05	8,29	7,9	81	8,3	97	8,8	119	8,8	142
114	-60,6	20,2	15,0	0,16	0,25	0,48	3,75	8,1	83	8,3	96	8,9	124	8,7	142
115	-60,8	20,2	15,0	0,16	0,28	5,19	8,29	7,9	82	8,2	97	8,8	123	8,6	143
116	-61,1	20,2	15,0	0,16	0,28	0,54	8,29	8,0	84	8,2	98	8,7	124	8,6	144
117	-60,7	20,2	15,0	0,16	0,39	2,88	8,29	7,9	82	8,3	97	8,7	128	8,8	138
118	-61,9	20,2	15,0	0,17	0,27	2,37	8,29	7,9	86	8,4	100	8,7	124	8,5	147
119	-61,3	20,2	15,0	0,17	0,27	0,56	8,29	7,9	85	8,1	95	8,6	125	8,6	146
120	-60,8	20,2	15,0	0,16	0,36	0,54	8,29	8,2	87	8,5	99	8,7	124	8,7	140
121	-61,0	20,2	15,0	0,16	0,28	0,57	8,29	7,9	84	8,3	98	8,7	124	8,5	146
122	-61,9	20,2	15,0	0,17	0,28	0,57	8,29	8,0	83	8,6	102	8,5	131	8,8	140
123	-62,2	20,2	15,0	0,17	0,26	0,53	8,29	7,8	86	8,1	99	8,6	130	8,5	144
124	-61,9	20,2	15,0	0,17	0,27	0,67	8,29	7,9	83	8,3	98	8,7	122	8,7	140
125	-62,6	20,2	15,0	0,17	0,26	5,32	8,29	7,9	85	8,5	100	8,7	121	8,7	134
126	-61,6	20,2	15,0	0,16	0,28	0,75	8,29	8,0	84	8,5	100	8,7	125	8,5	144
127	-61,1	20,2	15,0	0,16	0,27	0,59	8,29	8,0	81	8,4	98	8,9	123	8,6	152
128	-61,6	20,2	15,0	0,16	0,27	0,57	8,29	8,0	84	8,3	98	8,7	124	8,7	146
Element Number	S_{LC} (dB)	t_F (μ s)	d (mm)	t_D (μ s)	t_{-12} (μ s)	t_{-20} (μ s)	t_{-26} (μ s)	f_{c-6} (MHz)	BW_{-6} (%)	f_{c-10} (MHz)	BW_{-10} (%)	f_{c-20} (MHz)	BW_{-20} (%)	f_{c-30} (MHz)	BW_{-30} (%)
Group	Characteristic Loop Sensitivity S_{LC}			Normalized Loop Time Response $X(t)$				Wideband Loop Sensitivity $S_i(f)$							

Device Under Test (DUT)

Make	Model	No. of Elem./Row	No. of Row	Type of Array	Nominal Freq.	Serial Number
GE	ML6-15-RS	336	3	1.25D/1.5D Linear	4.3-13 MHz	224545YP4

Ortner Medizintechnik e.U. • Strauchweg 26 TOP 1-3 • A-8501 Lieboch • +43 (0) 3136-62155 • office@ort-med.com (Active rows: all rows)



Ultrasound Transducer Assembly Analysis Report



2) Intrinsic Characteristics Measurement (cont'd)

2.7) Data of measurement (cont'd)

Group	Characteristic Loop Sensitivity S_{LC}			Normalized Loop Time Response $X(t)$				Wideband Loop Sensitivity $S_i(f)$							
	Element Number	S_{LC} (dB)	t_F (μ s)	d (mm)	t_D (μ s)	t_{-12} (μ s)	t_{-20} (μ s)	t_{-26} (μ s)	f_{c-6} (MHz)	BW_{-6} (%)	f_{c-10} (MHz)	BW_{-10} (%)	f_{c-20} (MHz)	BW_{-20} (%)	f_{c-30} (MHz)
129	-60,7	20,2	15,0	0,16	0,28	0,57	8,29	8,0	83	8,2	97	8,8	121	8,8	141
130	-60,9	20,2	15,0	0,16	0,28	0,57	8,29	8,1	81	8,6	97	8,9	120	8,7	144
131	-60,8	20,2	15,0	0,16	0,29	0,57	8,29	8,0	77	8,4	96	8,9	118	8,8	139
132	-60,4	20,2	15,0	0,16	0,25	0,48	3,00	8,3	83	8,6	99	9,0	119	8,7	143
133	-59,9	20,2	15,0	0,16	0,26	0,50	0,86	8,1	80	8,3	95	8,9	122	8,6	149
134	-59,9	20,2	15,0	0,16	0,27	0,48	1,65	8,3	81	8,5	97	8,9	122	8,9	137
135	-60,6	20,2	15,0	0,16	0,28	0,57	8,29	8,0	80	8,5	100	8,9	121	9,0	137
136	-61,8	20,2	15,0	0,16	0,27	0,54	8,29	8,1	87	8,5	100	8,7	121	8,8	137
137	-61,2	20,2	15,0	0,16	0,27	3,13	8,29	7,9	84	8,4	100	8,9	121	8,7	136
138	-62,2	20,2	15,0	0,16	0,26	0,57	8,29	8,3	87	8,6	102	8,9	120	8,7	140
139	-62,3	20,2	15,0	0,17	0,27	0,57	8,29	7,9	85	8,2	97	8,6	122	8,6	142
140	-61,8	20,2	15,0	0,17	0,28	0,56	8,29	7,9	83	8,3	97	8,7	123	8,7	139
141	-61,4	20,2	15,0	0,17	0,27	0,56	8,29	7,9	80	8,2	95	8,8	122	8,8	142
142	-62,3	20,2	15,0	0,16	0,26	3,01	8,29	8,1	84	8,4	97	8,7	121	8,6	135
143	-61,5	20,2	15,0	0,16	0,27	2,56	8,29	8,0	82	8,6	99	8,8	123	8,7	135
144	-62,5	20,2	15,0	0,17	0,26	0,85	8,29	8,0	83	8,3	98	8,7	120	8,9	132
145	-61,2	20,2	15,0	0,16	0,28	0,68	8,29	8,0	80	8,4	97	8,8	124	8,9	141
146	-61,0	20,2	15,0	0,16	0,28	0,57	8,29	8,1	82	8,6	100	9,0	124	8,7	145
147	-60,9	20,2	15,0	0,16	0,27	2,83	8,29	8,0	84	8,7	101	8,9	120	8,5	149
148	-61,2	20,2	15,0	0,16	0,26	0,68	8,29	8,1	84	8,5	99	8,9	127	8,8	136
149	-61,1	20,2	15,0	0,16	0,28	0,55	8,29	7,9	83	8,5	100	8,6	127	8,8	138
150	-59,8	20,2	15,0	0,16	0,27	0,50	2,60	8,2	80	8,8	99	8,9	123	8,7	146
151	-59,7	20,2	15,0	0,15	0,26	0,49	0,85	8,2	81	8,6	97	8,9	120	8,9	140
152	-60,8	20,2	15,0	0,16	0,28	3,52	8,29	8,3	82	8,6	100	8,9	125	9,0	141
153	-60,3	20,2	15,0	0,16	0,25	0,47	0,80	8,1	80	8,5	97	8,9	121	8,7	140
154	-59,9	20,2	15,0	0,15	0,26	0,49	0,57	8,2	82	8,7	100	8,9	119	8,8	142
155	-60,5	20,2	15,0	0,16	0,25	0,50	0,58	8,1	83	8,6	100	8,9	120	8,8	141
156	-60,1	20,2	15,0	0,16	0,26	0,49	0,84	8,3	85	8,5	98	8,9	121	8,7	146
157	-60,7	20,2	15,0	0,16	0,28	0,59	8,29	8,0	81	8,6	98	9,0	118	8,7	142
158	-59,8	20,2	15,0	0,16	0,27	0,50	0,57	8,2	80	8,5	97	8,9	122	8,7	145
159	-59,7	20,2	15,0	0,16	0,26	0,50	0,59	8,1	79	8,6	97	8,9	121	8,8	141
160	-60,4	20,2	15,0	0,16	0,25	0,49	3,78	8,2	84	8,8	101	8,9	122	8,8	143
161	-60,3	20,2	15,0	0,16	0,25	0,49	5,29	8,2	84	8,9	102	8,9	124	9,0	139
162	-59,8	20,2	15,0	0,15	0,26	0,49	0,59	8,3	82	8,8	99	9,1	120	8,7	150
163	-59,7	20,2	15,0	0,15	0,26	0,47	5,55	8,2	84	8,9	100	9,0	123	8,9	138
164	-59,7	20,2	15,0	0,15	0,26	0,50	0,64	8,3	81	8,8	99	9,0	123	9,0	142
165	-59,9	20,2	15,0	0,16	0,26	0,49	3,72	8,2	83	8,7	100	9,1	120	8,9	136
166	-59,9	20,2	15,0	0,16	0,26	0,50	2,26	8,2	82	8,7	99	9,0	123	8,8	138
167	-60,0	20,2	15,0	0,15	0,26	0,48	0,82	8,4	89	8,9	100	9,1	123	8,9	136
168	-60,3	20,2	15,0	0,16	0,25	0,49	0,57	8,2	83	8,9	103	8,8	120	8,7	144
169	-60,8	20,2	15,0	0,16	0,39	0,77	8,29	8,2	83	8,7	99	9,0	118	8,7	145
170	-60,4	20,2	15,0	0,15	0,25	0,48	0,86	8,3	83	8,8	100	9,0	119	8,8	139
171	-60,1	20,2	15,0	0,15	0,25	0,49	1,89	8,3	82	9,0	101	9,1	121	9,3	136
172	-59,8	20,2	15,0	0,15	0,25	0,48	0,83	8,3	85	8,8	101	8,9	123	8,9	139
173	-60,1	20,2	15,0	0,16	0,26	0,48	5,20	8,3	82	8,9	101	9,0	122	8,6	145
174	-60,2	20,2	15,0	0,16	0,26	0,49	0,86	8,4	84	8,9	101	9,0	123	9,0	134
175	-60,4	20,2	15,0	0,16	0,25	0,49	0,57	8,3	80	8,8	99	9,0	122	9,1	138
176	-61,0	20,2	15,0	0,15	0,26	0,58	8,29	8,5	86	8,9	101	8,9	125	8,9	137
177	-60,6	20,2	15,0	0,16	0,25	0,49	0,62	8,3	87	9,0	102	8,9	127	8,8	140
178	-60,3	20,2	15,0	0,16	0,25	0,49	3,95	8,2	85	8,6	98	9,0	122	8,6	143
179	-60,5	20,2	15,0	0,16	0,25	0,49	5,63	8,2	83	8,6	98	9,0	117	8,7	142
180	-59,8	20,2	15,0	0,16	0,26	0,49	2,60	8,3	86	8,8	100	9,0	122	8,8	142
181	-61,7	20,2	15,0	0,16	0,26	5,42	8,22	8,2	86	8,8	102	9,0	120	9,0	141
182	-61,5	20,2	15,0	0,16	0,28	0,67	8,29	8,1	86	8,8	103	8,9	123	8,8	138
183	-60,6	20,2	15,0	0,16	0,26	0,50	0,73	8,2	84	8,7	99	8,9	118	8,8	136
184	-60,3	20,2	15,0	0,16	0,25	0,49	3,60	8,2	83	8,8	99	9,0	121	8,9	141
185	-61,0	20,2	15,0	0,16	0,27	0,56	8,29	8,3	85	8,7	100	9,0	122	9,0	136
186	-60,6	20,2	15,0	0,16	0,25	0,49	0,59	8,5	84	8,8	100	8,9	126	8,8	137
187	-60,6	20,2	15,0	0,16	0,25	0,48	0,57	8,4	86	8,8	101	9,0	119	8,7	142
188	-60,6	20,2	15,0	0,16	0,25	0,48	6,05	8,2	82	8,8	101	9,0	119	8,7	145
189	-60,1	20,2	15,0	0,16	0,26	0,50	0,86	8,5	86	8,9	100	8,9	125	8,9	138
190	-60,7	20,2	15,0	0,16	0,28	0,60	8,29	8,1	82	8,6	97	8,8	123	8,8	142
191	-60,2	20,2	15,0	0,15	0,26	0,49	0,81	8,5	85	8,8	100	9,0	122	8,9	136
192	-59,0	20,2	15,0	0,15	0,27	0,52	0,66	8,3	82	8,9	100	9,0	120	8,9	142
Element Number	S_{LC} (dB)	t_F (μ s)	d (mm)	t_D (μ s)	t_{-12} (μ s)	t_{-20} (μ s)	t_{-26} (μ s)	f_{c-6} (MHz)	BW_{-6} (%)	f_{c-10} (MHz)	BW_{-10} (%)	f_{c-20} (MHz)	BW_{-20} (%)	f_{c-30} (MHz)	BW_{-30} (%)
Group	Characteristic Loop Sensitivity S_{LC}			Normalized Loop Time Response $X(t)$				Wideband Loop Sensitivity $S_i(f)$							

Device Under Test (DUT)

Make	Model	No. of Elem./Row	No. of Row	Type of Array	Nominal Freq.	Serial Number
GE	ML6-15-RS	336	3	1.25D/1.5D Linear	4.3-13 MHz	224545YP4

Ortner Medizintechnik e.U. • Strauchweg 26 TOP 1-3 • A-8501 Lieboch • +43 (0) 3136-62155 • office@ort-med.com (Active rows: all rows)



Ultrasound Transducer Assembly Analysis Report



2) Intrinsic Characteristics Measurement (cont'd)

2.7) Data of measurement (cont'd)

Group	Characteristic Loop Sensitivity S_{LC}			Normalized Loop Time Response $X(t)$				Wideband Loop Sensitivity $S_i(f)$							
	Element Number	S_{LC} (dB)	t_F (μ s)	d (mm)	t_D (μ s)	t_{-12} (μ s)	t_{-20} (μ s)	t_{-26} (μ s)	f_{c-6} (MHz)	BW_{-6} (%)	f_{c-10} (MHz)	BW_{-10} (%)	f_{c-20} (MHz)	BW_{-20} (%)	f_{c-30} (MHz)
193	-59,4	20,2	15,0	0,15	0,27	0,49	0,56	8,3	83	8,7	98	9,1	121	8,6	145
194	-60,3	20,2	15,0	0,16	0,26	0,50	0,66	8,2	84	8,8	100	8,9	123	8,8	139
195	-60,2	20,2	15,0	0,15	0,25	0,49	0,68	8,4	85	8,9	102	9,1	121	8,9	144
196	-59,6	20,2	15,0	0,15	0,27	0,49	0,58	8,4	82	8,8	100	8,9	120	8,9	140
197	-60,4	20,2	15,0	0,15	0,25	0,49	0,86	8,3	84	8,8	99	9,0	121	8,8	149
198	-59,9	20,2	15,0	0,16	0,26	0,49	0,85	8,3	83	8,6	98	9,0	122	8,8	139
199	-60,8	20,2	15,0	0,16	0,25	0,47	0,57	8,2	85	8,7	99	8,9	124	9,0	137
200	-60,2	20,2	15,0	0,16	0,26	0,48	0,55	8,2	84	8,8	100	8,9	121	8,7	147
201	-61,2	20,2	15,0	0,16	0,28	0,55	8,29	8,3	85	8,6	99	8,9	123	8,7	142
202	-60,6	20,2	15,0	0,16	0,25	0,48	0,81	8,3	85	8,6	99	9,1	120	8,7	142
203	-60,4	20,2	15,0	0,16	0,25	0,47	0,55	8,2	83	8,7	99	8,9	121	9,2	135
204	-60,3	20,2	15,0	0,16	0,25	0,49	4,33	8,3	81	8,9	101	9,1	120	8,9	141
205	-60,3	20,2	15,0	0,16	0,25	0,50	0,60	8,4	85	8,9	101	9,0	121	8,8	147
206	-60,6	20,2	15,0	0,16	0,25	0,48	0,57	8,1	82	8,8	100	8,9	123	9,1	135
207	-61,4	20,2	15,0	0,16	0,27	0,55	8,29	8,1	85	8,7	98	8,8	121	8,7	137
208	-61,4	20,2	15,0	0,16	0,27	0,74	8,29	8,3	85	8,5	95	9,0	121	8,9	140
209	-59,8	20,2	15,0	0,15	0,25	0,47	5,63	8,3	86	8,7	98	8,8	126	9,0	140
210	-60,8	20,2	15,0	0,16	0,27	0,90	8,29	8,1	86	8,4	96	8,7	125	9,0	141
211	-59,9	20,2	15,0	0,15	0,25	0,49	0,61	8,2	85	8,7	100	9,1	121	9,0	140
212	-60,1	20,2	15,0	0,16	0,25	0,48	0,85	8,2	85	8,6	98	9,1	123	8,9	150
213	-60,2	20,2	15,0	0,16	0,25	0,47	5,31	8,2	87	8,5	99	8,8	125	8,9	140
214	-61,0	20,2	15,0	0,16	0,27	5,30	8,25	8,1	87	8,3	99	8,8	127	8,9	140
215	-60,7	20,2	15,0	0,16	0,25	0,47	0,68	8,2	83	8,5	97	8,9	125	8,8	140
216	-59,6	20,2	15,0	0,16	0,27	0,50	0,61	8,3	79	8,5	95	8,9	119	8,8	147
217	-60,3	20,2	15,0	0,16	0,25	0,48	0,91	8,2	82	8,6	97	9,0	121	9,3	136
218	-60,2	20,2	15,0	0,16	0,26	0,47	1,80	8,2	85	8,5	98	8,9	121	8,8	141
219	-60,1	20,2	15,0	0,16	0,25	0,48	4,12	8,1	82	8,5	98	9,1	120	9,0	137
220	-60,0	20,2	15,0	0,16	0,25	0,48	0,57	8,1	83	8,7	100	9,0	121	9,1	136
221	-60,2	20,2	15,0	0,16	0,26	0,50	0,69	8,2	82	8,4	94	9,0	120	9,0	136
222	-61,6	20,2	15,0	0,17	0,27	0,86	8,29	8,0	84	8,3	96	8,8	122	8,9	144
223	-60,4	20,2	15,0	0,16	0,25	0,47	0,64	8,0	85	8,3	95	9,0	120	8,8	142
224	-61,4	20,2	15,0	0,16	0,27	2,24	8,29	8,0	84	8,4	97	9,0	121	9,0	136
225	-60,7	20,2	15,0	0,16	0,25	0,48	0,57	8,2	87	8,6	98	8,8	122	8,8	142
226	-60,4	20,2	15,0	0,16	0,26	0,50	2,93	8,0	82	8,6	97	8,8	126	9,0	141
227	-59,6	20,2	15,0	0,16	0,26	0,50	0,83	8,1	80	8,4	94	9,0	120	8,8	147
228	-59,7	20,2	15,0	0,15	0,26	0,50	4,14	8,2	83	8,8	100	8,9	124	8,7	145
229	-60,4	20,2	15,0	0,16	0,26	0,49	3,76	8,3	89	8,5	96	8,9	121	8,9	145
230	-59,8	20,2	15,0	0,16	0,26	0,50	0,64	8,2	82	8,5	96	8,9	120	8,8	140
231	-60,3	20,2	15,0	0,16	0,25	0,49	1,46	8,2	83	8,9	101	8,9	124	9,1	136
232	-59,3	20,2	15,0	0,16	0,27	0,51	0,66	8,1	81	8,8	98	8,8	121	8,9	143
233	-59,9	20,2	15,0	0,16	0,25	0,50	0,82	8,1	83	8,9	99	8,9	127	8,8	141
234	-59,6	20,2	15,0	0,16	0,26	0,50	0,62	8,2	83	9,0	102	8,9	126	8,6	143
235	-59,5	20,2	15,0	0,16	0,36	0,51	0,66	8,2	83	8,5	95	9,0	122	9,1	136
236	-59,2	20,2	15,0	0,15	0,26	0,50	2,16	8,2	82	9,0	101	9,0	122	8,8	143
237	-60,5	20,2	15,0	0,16	0,39	7,64	8,29	8,0	82	8,4	95	8,9	125	9,2	136
238	-61,4	20,2	15,0	0,16	0,28	0,84	8,29	8,1	76	8,3	92	8,8	125	9,1	134
239	-60,1	20,2	15,0	0,16	0,26	0,52	0,65	8,2	80	8,8	100	8,9	125	8,7	144
240	-60,3	20,2	15,0	0,16	0,25	0,48	2,95	8,2	85	8,5	95	9,1	119	9,1	139
241	-60,2	20,2	15,0	0,16	0,26	0,50	0,60	8,2	82	8,7	97	9,0	124	8,6	147
242	-60,6	20,2	15,0	0,16	0,28	0,85	8,29	8,1	81	8,4	95	9,0	120	8,7	140
243	-61,1	20,2	15,0	0,16	0,38	0,77	8,29	8,3	85	8,6	98	8,9	127	8,7	145
244	-61,4	20,2	15,0	0,16	0,37	0,60	8,29	8,1	85	8,4	97	8,9	124	8,9	135
245	-61,6	20,2	15,0	0,16	0,26	0,57	8,29	8,1	83	8,7	103	8,8	130	8,8	145
246	-60,5	20,2	15,0	0,16	0,25	0,50	0,85	8,2	84	8,6	97	8,8	125	9,0	140
247	-60,9	20,2	15,0	0,16	0,28	0,58	8,29	8,1	83	8,5	98	8,9	129	8,7	140
248	-61,1	20,2	15,0	0,16	0,38	0,70	8,29	8,0	83	8,3	94	8,8	126	8,8	137
249	-62,1	20,2	15,0	0,17	0,27	0,54	8,29	8,1	85	8,3	97	8,7	127	8,7	149
250	-61,1	20,2	15,0	0,16	0,27	0,56	8,29	8,2	85	8,6	102	8,9	125	8,9	140
251	-61,4	20,2	15,0	0,16	0,27	0,57	8,29	8,3	85	8,6	104	9,0	126	8,7	145
252	-61,5	20,2	15,0	0,16	0,26	5,15	8,29	8,2	85	8,5	99	8,8	129	8,9	146
253	-61,6	20,2	15,0	0,16	0,27	1,87	8,29	8,2	86	8,4	99	8,8	124	8,5	143
254	-62,2	20,2	15,0	0,16	0,26	0,52	8,29	8,1	86	8,3	101	8,9	125	8,8	153
255	-62,7	20,2	15,0	0,16	0,25	0,62	8,29	8,3	86	8,8	98	9,1	121	8,9	139
256	-64,3	20,2	15,0	0,17	0,27	2,75	8,29	8,1	80	8,9	100	9,2	121	9,2	135
Element Number	S_{LC} (dB)	t_F (μ s)	d (mm)	t_D (μ s)	t_{-12} (μ s)	t_{-20} (μ s)	t_{-26} (μ s)	f_{c-6} (MHz)	BW_{-6} (%)	f_{c-10} (MHz)	BW_{-10} (%)	f_{c-20} (MHz)	BW_{-20} (%)	f_{c-30} (MHz)	BW_{-30} (%)
Group	Characteristic Loop Sensitivity S_{LC}			Normalized Loop Time Response $X(t)$				Wideband Loop Sensitivity $S_i(f)$							

Device Under Test (DUT)

Make	Model	No. of Elem./Row	No. of Row	Type of Array	Nominal Freq.	Serial Number
GE	ML6-15-RS	336	3	1.25D/1.5D Linear	4.3-13 MHz	224545YP4

Ortner Medizintechnik e.U. • Strauchweg 26 TOP 1-3 • A-8501 Lieboch • +43 (0) 3136-62155 • office@ort-med.com (Active rows: all rows)



Ultrasound Transducer Assembly Analysis Report



2) Intrinsic Characteristics Measurement (cont'd)

2.7) Data of measurement (cont'd)

Group	Characteristic Loop Sensitivity S_{LC}			Normalized Loop Time Response $X(t)$				Wideband Loop Sensitivity $S_i(f)$							
	Element Number	S_{LC} (dB)	t_F (μ s)	d (mm)	t_D (μ s)	t_{-12} (μ s)	t_{-20} (μ s)	t_{-26} (μ s)	f_{c-6} (MHz)	BW_{-6} (%)	f_{c-10} (MHz)	BW_{-10} (%)	f_{c-20} (MHz)	BW_{-20} (%)	f_{c-30} (MHz)
257	-64,3	20,2	15,0	0,17	0,26	0,55	8,29	8,6	81	9,1	98	9,0	118	9,0	133
258	-65,0	20,2	15,0	0,17	0,27	3,66	8,29	8,2	73	9,0	99	9,0	120	8,9	130
259	-64,5	20,2	15,0	0,16	0,27	2,53	8,29	8,9	81	9,1	100	9,0	118	9,0	147
260	-64,4	20,2	15,0	0,17	0,28	0,61	8,29	8,2	77	9,1	99	9,0	117	9,0	140
261	-64,8	20,2	15,0	0,17	0,28	0,52	8,29	8,4	86	9,0	101	8,8	126	8,7	147
262	-63,0	20,2	15,0	0,17	0,37	0,61	8,29	8,1	82	8,3	93	8,9	123	8,9	131
263	-63,3	20,2	15,0	0,17	0,28	5,36	8,26	8,0	83	8,3	94	8,9	123	8,6	141
264	-62,2	20,2	15,0	0,16	0,26	1,22	8,29	8,0	83	8,7	101	8,9	120	9,0	135
265	-61,4	20,2	15,0	0,16	0,27	5,19	8,29	8,5	86	9,0	104	9,0	122	8,7	139
266	-62,0	20,2	15,0	0,16	0,36	7,95	8,24	8,2	85	8,7	100	8,7	128	8,7	140
267	-62,3	20,2	15,0	0,17	0,38	1,92	8,29	8,1	85	8,9	103	8,7	128	9,1	134
268	-61,0	20,2	15,0	0,16	0,38	0,67	8,29	8,3	85	8,9	100	9,0	120	9,2	136
269	-60,6	20,2	15,0	0,16	0,25	0,48	4,25	8,4	82	8,8	96	9,0	116	9,2	135
270	-60,8	20,2	15,0	0,15	0,25	0,47	0,64	8,5	79	9,0	97	9,1	115	9,0	136
271	-60,0	20,2	15,0	0,15	0,26	0,50	5,25	8,7	82	9,0	97	9,0	117	9,1	136
272	-61,1	20,2	15,0	0,16	0,30	4,55	8,29	8,7	76	8,8	92	8,9	115	8,7	134
273	-61,4	20,2	15,0	0,15	0,27	0,64	8,29	8,7	84	8,9	97	9,0	117	8,9	141
274	-60,9	20,2	15,0	0,15	0,29	1,92	8,29	8,6	77	8,9	93	9,1	116	8,8	136
275	-62,6	20,2	15,0	0,16	0,26	0,60	8,29	8,9	87	9,0	99	9,0	120	9,0	134
276	-61,5	20,2	15,0	0,16	0,32	5,74	8,26	8,7	76	8,8	94	8,9	114	8,9	134
277	-63,4	20,2	15,0	0,16	0,31	0,56	8,29	8,7	84	9,0	100	8,9	117	8,9	126
278	-62,7	20,2	15,0	0,16	0,27	3,18	8,29	8,6	80	8,8	96	8,7	120	8,7	141
279	-64,5	20,2	15,0	0,16	0,26	0,51	8,29	8,5	87	9,0	102	8,9	119	9,0	138
280	-63,2	20,2	15,0	0,16	0,28	0,67	8,29	8,1	84	8,4	95	8,9	129	9,1	140
281	-62,0	20,2	15,0	0,16	0,26	0,61	8,29	8,2	84	8,9	101	8,9	125	8,9	142
282	-61,2	20,2	15,0	0,15	0,28	0,63	8,29	8,7	89	8,9	103	8,9	125	8,8	139
283	-65,0	20,2	15,0	0,17	0,26	0,53	8,29	8,2	86	8,7	102	9,0	121	8,8	144
284	-64,5	20,2	15,0	0,21	0,30	0,67	8,29	8,4	72	8,9	92	9,0	114	8,8	125
285	-65,1	20,2	15,0	0,20	0,27	0,54	8,29	8,7	75	9,2	94	9,1	110	8,7	134
286	-64,4	20,2	15,0	0,19	0,28	3,34	8,29	9,1	74	9,1	91	9,2	109	9,3	135
287	-65,8	20,2	15,0	0,21	0,38	0,57	8,29	9,4	78	9,4	90	9,3	109	9,4	117
288	-66,9	20,2	15,0	0,27	0,36	0,47	8,29	9,4	71	9,3	87	9,2	108	9,2	133
289	-68,0	20,2	15,0	0,87	0,33	8,29	8,29	9,5	74	9,3	89	9,5	113	9,4	122
290	-67,2	20,2	15,0	1,04	0,37	8,29	8,29	9,5	62	9,3	86	9,3	108	9,1	125
291	-69,4	20,2	15,0	2,46	0,45	8,29	8,29	9,7	65	9,2	89	9,1	110	9,3	121
292	-68,3	20,2	15,0	1,71	0,35	8,29	8,29	10,1	46	9,4	79	9,1	104	9,5	119
293	-70,3	20,2	15,0	2,96	0,43	8,29	8,29	9,7	69	9,4	86	9,3	109	9,6	125
294	-70,7	20,2	15,0	3,27	0,39	8,29	8,29	9,4	69	9,3	87	9,5	108	9,1	133
295	-73,9	20,2	15,0	5,72	0,35	8,29	8,29	9,5	75	9,4	96	9,2	105	9,6	109
296	-69,9	20,2	15,0	2,83	0,42	8,29	8,29	9,3	63	9,1	86	9,2	105	9,1	120
297	-73,7	20,2	15,0	5,54	0,40	8,29	8,29	9,1	72	9,4	91	9,0	110	9,5	119
298	-69,6	20,2	15,0	2,64	0,43	8,29	8,29	9,0	73	9,2	91	9,4	105	9,2	118
299	-73,7	20,2	15,0	5,80	6,79	8,27	8,27	59,3	1	88,8	70	89,3	69	87,8	74
300	-69,1	20,2	15,0	1,97	0,33	8,29	8,29	9,0	82	9,1	92	9,3	110	9,4	124
301	-74,9	20,2	15,0	6,26	8,29	8,29	8,29	58,9	3	58,2	4	88,4	71	84,9	83
302	-73,6	20,2	15,0	5,59	0,50	8,29	8,29	59,3	2	59,2	2	89,3	69	87,9	73
303	-68,8	20,2	15,0	0,98	0,28	8,29	8,29	9,1	95	9,1	107	8,8	131	8,4	149
304	-60,7	20,2	15,0	0,15	0,25	0,48	1,52	8,5	81	9,0	98	9,3	118	9,4	133
305	-61,3	20,2	15,0	0,15	0,29	0,62	8,29	8,7	87	9,0	103	9,1	124	9,1	140
306	-61,8	20,2	15,0	0,16	0,38	0,65	8,29	8,2	81	8,9	100	9,0	123	8,8	141
307	-61,1	20,2	15,0	0,15	0,38	5,42	8,26	8,5	86	9,0	100	9,0	121	9,0	146
308	-61,1	20,2	15,0	0,16	0,38	0,82	8,29	8,4	82	8,9	97	9,0	121	8,8	140
309	-61,1	20,2	15,0	0,15	0,34	0,82	8,29	8,5	87	9,1	103	8,9	125	9,0	143
310	-60,1	20,2	15,1	0,15	0,26	0,49	0,88	8,4	83	9,1	100	9,1	122	9,1	132
311	-60,4	20,2	15,0	0,15	0,25	0,48	0,81	8,8	88	9,1	100	9,2	119	8,9	147
312	-60,2	20,2	15,1	0,15	0,25	0,47	0,81	8,4	82	9,0	101	9,0	124	9,1	136
313	-60,8	20,2	15,0	0,15	0,25	0,48	2,51	8,4	84	9,1	102	9,0	126	9,0	134
314	-59,3	20,2	15,1	0,15	0,27	0,51	2,09	8,5	83	9,1	98	9,1	121	9,1	135
315	-61,0	20,2	15,1	0,15	0,29	0,63	8,29	8,6	87	9,1	102	8,8	124	8,9	148
316	-60,7	20,2	15,1	0,16	0,26	0,49	2,96	8,3	80	8,9	98	8,8	125	9,2	139
317	-59,8	20,2	15,1	0,15	0,27	0,49	0,78	8,6	81	9,1	98	9,1	124	8,9	140
318	-59,6	20,2	15,1	0,15	0,27	0,50	0,89	8,4	80	9,0	98	9,0	121	8,7	144
319	-60,4	20,2	15,1	0,15	0,26	0,48	0,77	9,0	91	9,0	100	8,8	124	8,9	145
320	-59,6	20,2	15,1	0,15	0,26	0,50	0,67	8,3	83	9,0	99	9,0	119	8,9	145
Element Number	S_{LC} (dB)	t_F (μ s)	d (mm)	t_D (μ s)	t_{-12} (μ s)	t_{-20} (μ s)	t_{-26} (μ s)	f_{c-6} (MHz)	BW_{-6} (%)	f_{c-10} (MHz)	BW_{-10} (%)	f_{c-20} (MHz)	BW_{-20} (%)	f_{c-30} (MHz)	BW_{-30} (%)
Group	Characteristic Loop Sensitivity S_{LC}			Normalized Loop Time Response $X(t)$				Wideband Loop Sensitivity $S_i(f)$							

Device Under Test (DUT)

Make	Model	No. of Elem./Row	No. of Row	Type of Array	Nominal Freq.	Serial Number
GE	ML6-15-RS	336	3	1.25D/1.5D Linear	4.3-13 MHz	224545YP4

Ortner Medizintechnik e.U. • Strauchweg 26 TOP 1-3 • A-8501 Lieboch • +43 (0) 3136-62155 • office@ort-med.com (Active rows: all rows)



Ultrasound Transducer Assembly Analysis Report



2) Intrinsic Characteristics Measurement (cont'd)

2.7) Data of measurement (cont'd)

Group	Characteristic Loop Sensitivity S_{LC}			Normalized Loop Time Response $X(t)$				Wideband Loop Sensitivity $S_i(f)$							
	S_{LC} (dB)	t_F (μ s)	d (mm)	t_D (μ s)	t_{-12} (μ s)	t_{-20} (μ s)	t_{-26} (μ s)	f_{c-6} (MHz)	BW_{-6} (%)	f_{c-10} (MHz)	BW_{-10} (%)	f_{c-20} (MHz)	BW_{-20} (%)	f_{c-30} (MHz)	BW_{-30} (%)
321	-60,4	20,2	15,1	0,15	0,26	0,48	0,66	8,6	84	9,0	100	8,9	123	8,8	140
322	-59,8	20,2	15,1	0,15	0,27	0,51	0,67	8,3	80	9,0	98	8,9	126	8,8	141
323	-61,5	20,2	15,1	0,16	0,28	1,54	8,29	8,4	83	9,0	100	8,8	125	8,9	136
324	-60,2	20,2	15,1	0,16	0,26	0,51	4,18	8,2	80	9,0	97	8,8	124	8,6	147
325	-59,8	20,2	15,1	0,15	0,26	0,50	0,70	8,5	82	9,1	98	9,0	124	8,9	143
326	-59,2	20,2	15,1	0,15	0,27	0,52	0,82	8,4	80	9,0	96	9,1	117	8,9	134
327	-60,3	20,2	15,1	0,15	0,26	0,50	1,51	8,4	83	9,0	97	8,9	124	9,0	146
328	-59,3	20,2	15,0	0,15	0,27	0,52	0,75	8,2	77	9,0	97	8,9	123	8,7	146
329	-61,0	20,2	15,0	0,16	0,25	0,50	0,66	8,9	89	8,9	100	8,8	124	8,9	139
330	-60,1	20,2	15,0	0,15	0,26	0,50	0,75	8,2	80	9,0	96	9,0	116	9,0	129
331	-60,6	20,2	15,0	0,16	0,37	5,45	8,27	8,4	79	8,8	93	9,0	115	9,0	139
332	-59,6	20,2	15,0	0,15	0,27	0,49	8,15	8,2	77	8,9	97	8,9	118	8,7	140
333	-59,3	20,2	15,0	0,15	0,27	0,50	0,65	8,8	86	9,0	95	9,0	113	8,8	137
334	-59,5	20,2	15,0	0,15	0,27	0,49	1,02	8,2	79	8,8	97	8,9	118	8,8	136
335	-60,4	20,2	15,0	0,15	0,26	0,45	0,69	8,6	86	8,9	99	8,8	122	9,2	132
336	-60,9	20,2	15,0	0,16	0,29	6,45	8,29	8,4	80	8,8	99	8,8	121	9,0	135
Element Number	S_{LC} (dB)	t_F (μ s)	d (mm)	t_D (μ s)	t_{-12} (μ s)	t_{-20} (μ s)	t_{-26} (μ s)	f_{c-6} (MHz)	BW_{-6} (%)	f_{c-10} (MHz)	BW_{-10} (%)	f_{c-20} (MHz)	BW_{-20} (%)	f_{c-30} (MHz)	BW_{-30} (%)
Group	Characteristic Loop Sensitivity S_{LC}			Normalized Loop Time Response $X(t)$				Wideband Loop Sensitivity $S_i(f)$							

Device Under Test (DUT)

Make	Model	No. of Elem./Row	No. of Row	Type of Array	Nominal Freq.	Serial Number
GE	ML6-15-RS	336	3	1.25D/1.5D Linear	4.3-13 MHz	224545YP4

(Active rows: all rows)



Ultrasound Transducer Assembly Analysis Report



3) Transmission Crosstalk Measurement with Optimum Drive Waveform Signal $B(t)$ (summary page)

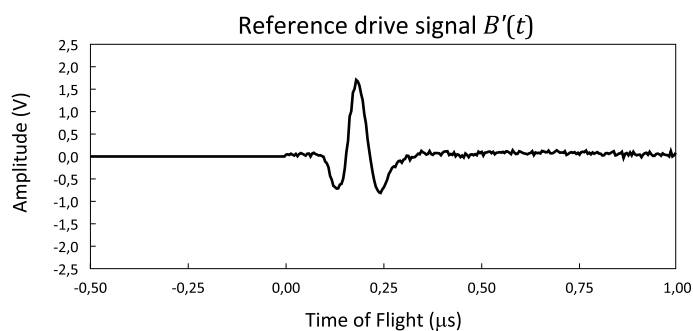
3.1) Statistics

Parameter	XT (dB) ^❶									
	# - 5	# - 4	# - 3	# - 2	# - 1	# + 1	# + 2	# + 3	# + 4	# + 5
Mean	---	---	-45,4	-43,0	-38,8	-38,8	-43,1	-45,4	---	---
S.D.	---	---	3,3	2,6	2,5	2,5	2,6	3,3	---	---
Max.	---	---	-37,5	-36,0	-33,2	-32,9	-36,2	-38,9	---	---
Min.	---	---	-56,9	-51,8	-45,7	-46,5	-50,5	-57,4	---	---
No. of elements per row	336 (Active rows: all rows)									
No. of elements per row being analyzed	336									
XT : Transmission crosstalk across adjacent element										
❶ For the ultrasound probes with high voltage switch IC chips, the transmission crosstalk may be not obtainable on some elements.										

3.2) Excluded element(s)

Total no. of excluded element(s) per row	0		
Auto-excluded element(s) pre row	---	Subtotal	0
Manually excluded element(s) per row	---	Subtotal	0

3.3) Reference drive signal $B'(t)$



Test Conditions

Reference drive signal	Optimum Drive Waveform Signal $B(t)$				
Adjacent elements selected	<input type="checkbox"/> # \pm 1	<input type="checkbox"/> # \pm 2	<input checked="" type="checkbox"/> # \pm 3	<input type="checkbox"/> # \pm 4	<input type="checkbox"/> # \pm 5
Temperature of water bath	22,0 °C				
Note	The acoustic window of transducer should be immersed in a degassed water bath to prevent artifacts.				

Device Under Test (DUT)

Make	Model	No. of Elem./Row	No. of Row	Type of Array	Nominal Freq.	Serial Number
GE	ML6-15-RS	336	3	1.25D/1.5D Linear	4.3-13 MHz	224545YP4

(Active rows: all rows)



Ultrasound Transducer Assembly Analysis Report



3) Transmission Crosstalk Measurement with Optimum Drive Waveform Signal $B(t)$ (cont'd)

3.4) Data of measurement

Transmission Crosstalk Across Adjacent Element XT (dB)										
# - 5	# - 4	# - 3	# - 2	# - 1	Element Number #	# + 1	# + 2	# + 3	# + 4	# + 5
---	---	n/a	n/a	n/a	1	-35,6	-42,0	-44,9	---	---
---	---	n/a	n/a	-35,5	2	-40,8	-40,5	-43,4	---	---
---	---	n/a	-41,5	-40,5	3	-35,5	-39,1	-45,0	---	---
---	---	-45,5	-40,7	-35,1	4	-36,6	-44,8	-40,5	---	---
---	---	-42,8	-39,1	-36,6	5	-38,1	-43,3	-44,8	---	---
---	---	-44,5	-43,9	-38,2	6	-34,6	-41,0	-44,5	---	---
---	---	-41,0	-43,3	-34,2	7	-36,0	-42,6	-44,0	---	---
---	---	-44,9	-40,8	-36,1	8	-41,0	-44,3	-44,4	---	---
---	---	-44,8	-41,6	-41,2	9	-38,7	-39,9	-43,6	---	---
---	---	-44,4	-44,2	-39,1	10	-33,9	-43,8	-44,8	---	---
---	---	-44,5	-39,7	-33,9	11	-37,8	-42,7	-44,9	---	---
---	---	-43,9	-44,4	-37,8	12	-36,3	-37,9	-45,7	---	---
---	---	-44,7	-41,6	-35,7	13	-34,3	-43,7	-45,6	---	---
---	---	-44,8	-38,3	-34,5	14	-39,7	-46,0	-55,5	---	---
---	---	-46,3	-43,7	-39,3	15	-36,4	-47,5	-56,2	---	---
---	---	-45,7	-46,1	-36,1	16	-43,8	-47,2	-55,7	---	---
---	---	-55,4	-48,3	-43,8	17	-37,3	-41,9	-42,5	---	---
---	---	-54,8	-48,2	-37,3	18	-42,0	-44,8	-42,6	---	---
---	---	-55,2	-42,5	-42,1	19	-38,6	-41,6	-48,1	---	---
---	---	-42,8	-44,9	-38,4	20	-39,0	-47,1	-48,4	---	---
---	---	-40,7	-41,8	-38,9	21	-40,4	-43,9	-45,6	---	---
---	---	-47,8	-46,9	-40,8	22	-36,2	-41,0	-46,8	---	---
---	---	-47,9	-42,5	-36,1	23	-36,2	-46,7	-45,3	---	---
---	---	-45,1	-40,8	-35,8	24	-41,9	-46,2	-44,1	---	---
---	---	-48,2	-46,7	-42,1	25	-38,0	-42,5	-48,8	---	---
---	---	-45,5	-46,8	-37,6	26	-39,0	-46,3	-49,1	---	---
---	---	-43,9	-41,8	-38,5	27	-41,4	-45,9	-48,4	---	---
---	---	-47,8	-46,6	-41,6	28	-39,5	-43,8	-46,9	---	---
---	---	-48,8	-46,4	-39,2	29	-39,2	-42,7	-43,4	---	---
---	---	-48,8	-43,6	-36,8	30	-41,4	-44,7	-44,8	---	---
---	---	-47,0	-43,5	-41,3	31	-36,0	-41,6	-47,0	---	---
---	---	-43,1	-44,3	-36,1	32	-40,7	-45,0	-45,4	---	---
---	---	-44,2	-41,6	-40,5	33	-38,0	-45,0	-43,0	---	---
---	---	-45,5	-44,8	-37,9	34	-40,4	-40,2	-43,2	---	---
---	---	-45,3	-45,0	-40,5	35	-39,0	-42,0	-40,2	---	---
---	---	-44,8	-39,1	-39,2	36	-35,6	-43,9	-47,5	---	---
---	---	-42,7	-44,1	-35,4	37	-39,5	-41,3	-47,2	---	---
---	---	-40,9	-43,3	-38,4	38	-36,3	-40,3	-45,0	---	---
---	---	-46,0	-43,7	-36,7	39	-39,0	-47,0	-45,4	---	---
---	---	-48,0	-40,0	-38,8	40	-41,5	-47,2	-50,1	---	---
---	---	-46,3	-48,1	-41,2	41	-38,5	-42,8	-49,3	---	---
---	---	-45,7	-46,2	-38,1	42	-38,4	-44,4	-48,1	---	---
---	---	-50,1	-43,1	-39,1	43	-41,5	-41,6	-45,0	---	---
---	---	-48,3	-44,1	-41,3	44	-38,3	-42,9	-40,7	---	---
---	---	-47,5	-41,7	-38,9	45	-39,1	-44,6	-47,2	---	---
---	---	-44,9	-43,4	-38,8	46	-40,9	-40,0	-44,1	---	---
---	---	-40,5	-44,9	-40,8	47	-39,9	-42,3	-48,8	---	---
---	---	-47,8	-40,4	-38,8	48	-42,2	-42,3	-46,2	---	---
---	---	-45,5	-43,6	-42,1	49	-38,9	-42,9	-47,4	---	---
---	---	-48,9	-41,5	-38,8	50	-41,0	-45,6	-48,0	---	---
---	---	-45,4	-42,8	-41,1	51	-38,8	-44,2	-43,8	---	---
---	---	-47,4	-44,8	-38,8	52	-38,2	-45,3	-41,9	---	---
---	---	-47,6	-42,7	-36,9	53	-40,4	-46,0	-48,4	---	---
---	---	-43,5	-45,0	-40,5	54	-38,2	-40,2	-42,3	---	---
---	---	-42,0	-42,7	-39,2	55	-39,1	-44,3	-43,5	---	---
---	---	-47,8	-41,1	-39,2	56	-41,3	-41,6	-45,3	---	---
---	---	-44,9	-44,1	-41,4	57	-35,9	-43,4	-48,8	---	---
---	---	-44,0	-43,0	-36,2	58	-38,9	-46,1	-48,8	---	---
---	---	-45,7	-42,7	-38,4	59	-42,0	-46,2	-47,3	---	---
---	---	-48,5	-46,1	-41,9	60	-37,9	-41,6	-44,9	---	---
---	---	-48,6	-47,7	-37,8	61	-38,9	-46,6	-48,4	---	---
---	---	-48,1	-42,2	-39,7	62	-42,1	-44,9	-45,2	---	---
---	---	-44,9	-45,4	-41,9	63	-38,0	-43,9	-45,5	---	---
---	---	-47,9	-44,5	-37,6	64	-40,7	-43,8	-45,9	---	---
# - 5	# - 4	# - 3	# - 2	# - 1	Element Number #	# + 1	# + 2	# + 3	# + 4	# + 5

Transmission Crosstalk Across Adjacent Element XT (dB)

Device Under Test (DUT)

Make	Model	No. of Elem./Row	No. of Row	Type of Array	Nominal Freq.	Serial Number
GE	ML6-15-RS	336	3	1.25D/1.5D Linear	4.3-13 MHz	224545YP4

(Active rows: all rows)



Ultrasound Transducer Assembly Analysis Report



3) Transmission Crosstalk Measurement with Optimum Drive Waveform Signal $B(t)$ (cont'd)

3.4) Data of measurement (cont'd)

Transmission Crosstalk Across Adjacent Element XT' (dB)										
# - 5	# - 4	# - 3	# - 2	# - 1	Element Number #	# + 1	# + 2	# + 3	# + 4	# + 5
---	---	-44,9	-42,2	-40,6	65	-36,1	-44,3	-40,2	---	---
---	---	-45,5	-42,1	-36,1	66	-41,5	-39,2	-41,0	---	---
---	---	-46,4	-43,7	-41,7	67	-37,8	-44,6	-49,4	---	---
---	---	-40,7	-40,4	-37,5	68	-37,9	-41,2	-48,1	---	---
---	---	-42,3	-43,4	-37,9	69	-40,9	-44,1	-47,3	---	---
---	---	-48,7	-41,2	-41,6	70	-38,0	-36,2	-39,6	---	---
---	---	-47,6	-44,5	-38,8	71	-37,9	-46,2	-47,8	---	---
---	---	-47,3	-38,8	-37,7	72	-40,4	-40,8	-49,0	---	---
---	---	-39,6	-47,3	-40,5	73	-37,7	-43,9	-49,9	---	---
---	---	-47,1	-40,9	-36,6	74	-38,0	-41,8	-40,8	---	---
---	---	-48,8	-44,5	-37,9	75	-41,7	-41,6	-43,9	---	---
---	---	-48,8	-42,7	-41,7	76	-39,2	-40,2	-41,7	---	---
---	---	-40,5	-40,7	-39,5	77	-39,6	-44,5	-43,2	---	---
---	---	-44,0	-39,7	-39,1	78	-40,8	-42,2	-54,9	---	---
---	---	-42,3	-43,9	-40,5	79	-35,3	-47,9	-54,7	---	---
---	---	-43,3	-41,3	-35,5	80	-43,0	-49,2	-55,1	---	---
---	---	-55,4	-47,6	-43,0	81	-36,7	-44,7	-45,3	---	---
---	---	-54,9	-48,9	-36,5	82	-37,6	-43,6	-41,8	---	---
---	---	-55,8	-43,3	-38,4	83	-35,7	-39,0	-43,0	---	---
---	---	-44,6	-41,8	-35,4	84	-34,7	-38,7	-41,4	---	---
---	---	-41,3	-39,6	-35,3	85	-37,9	-40,7	-42,1	---	---
---	---	-43,5	-40,1	-38,0	86	-34,1	-45,1	-42,2	---	---
---	---	-42,1	-40,3	-34,2	87	-38,6	-41,5	-44,7	---	---
---	---	-41,9	-43,3	-39,1	88	-38,5	-42,4	-43,2	---	---
---	---	-42,2	-41,7	-38,6	89	-40,8	-38,8	-43,9	---	---
---	---	-44,3	-42,4	-40,6	90	-37,0	-40,8	-41,1	---	---
---	---	-42,7	-39,6	-37,2	91	-40,5	-45,5	-42,4	---	---
---	---	-42,9	-41,0	-40,1	92	-38,2	-39,0	-45,7	---	---
---	---	-41,4	-44,9	-38,1	93	-37,2	-41,9	-43,1	---	---
---	---	-43,7	-38,7	-37,1	94	-38,0	-42,7	-43,9	---	---
---	---	-45,4	-43,8	-38,0	95	-35,4	-45,4	-44,1	---	---
---	---	-42,7	-41,7	-35,5	96	-40,2	-42,1	-40,6	---	---
---	---	-44,8	-44,8	-40,0	97	-38,3	-42,1	-42,5	---	---
---	---	-44,3	-43,2	-39,0	98	-36,5	-43,1	-47,5	---	---
---	---	-41,2	-41,7	-36,9	99	-37,8	-40,5	-44,2	---	---
---	---	-42,8	-45,6	-38,0	100	-39,4	-41,1	-42,5	---	---
---	---	-45,9	-40,4	-40,1	101	-40,0	-42,2	-46,2	---	---
---	---	-44,1	-45,3	-39,7	102	-38,5	-42,4	-45,3	---	---
---	---	-40,9	-40,6	-38,4	103	-38,4	-41,9	-45,8	---	---
---	---	-45,5	-42,3	-39,5	104	-38,8	-42,4	-47,0	---	---
---	---	-43,1	-42,8	-38,8	105	-39,5	-40,8	-43,2	---	---
---	---	-44,7	-42,1	-40,0	106	-38,3	-43,0	-45,0	---	---
---	---	-46,9	-40,3	-38,1	107	-39,0	-41,1	-45,6	---	---
---	---	-42,4	-42,8	-38,8	108	-36,0	-40,5	-44,4	---	---
---	---	-45,6	-41,3	-37,2	109	-38,5	-41,9	-44,8	---	---
---	---	-45,7	-39,9	-39,1	110	-40,7	-44,5	---	---	---
---	---	-44,4	-41,9	-39,0	111	-37,5	---	---	---	---
---	---	-44,8	-44,4	-37,5	112	---	---	---	---	---
---	---	---	---	---	113	-35,9	-41,6	-47,5	---	---
---	---	---	---	-36,3	114	-37,5	-45,3	-42,7	---	---
---	---	---	-40,2	-38,1	115	-35,0	-39,6	-44,4	---	---
---	---	-45,9	-42,3	-34,5	116	-40,3	-43,4	-44,5	---	---
---	---	-42,8	-39,7	-39,9	117	-37,8	-40,3	-44,8	---	---
---	---	-43,7	-45,5	-38,6	118	-36,6	-39,7	-42,6	---	---
---	---	-44,4	-40,6	-36,7	119	-33,8	-40,5	-44,5	---	---
---	---	-44,2	-39,5	-34,3	120	-37,7	-41,9	-44,3	---	---
---	---	-43,2	-40,7	-38,1	121	-37,7	-39,1	-43,0	---	---
---	---	-43,7	-41,2	-37,8	122	-37,2	-40,0	-44,0	---	---
---	---	-43,9	-39,9	-37,2	123	-36,7	-43,8	-40,5	---	---
---	---	-41,7	-41,1	-37,5	124	-35,0	-39,4	-43,4	---	---
---	---	-43,6	-44,9	-34,8	125	-33,5	-42,5	-43,2	---	---
---	---	-42,0	-39,9	-33,2	126	-39,8	-44,7	-39,9	---	---
---	---	-41,9	-40,4	-39,3	127	-36,3	-44,5	-44,0	---	---
---	---	-44,1	-41,9	-36,1	128	-40,1	-42,7	-42,1	---	---
# - 5	# - 4	# - 3	# - 2	# - 1	Element Number #	# + 1	# + 2	# + 3	# + 4	# + 5

Transmission Crosstalk Across Adjacent Element XT' (dB)

Device Under Test (DUT)

Make	Model	No. of Elem./Row	No. of Row	Type of Array	Nominal Freq.	Serial Number
GE	ML6-15-RS	336	3	1.25D/1.5D Linear	4.3-13 MHz	224545YP4

(Active rows: all rows)



Ultrasound Transducer Assembly Analysis Report



3) Transmission Crosstalk Measurement with Optimum Drive Waveform Signal $B(t)$ (cont'd)

3.4) Data of measurement (cont'd)

Transmission Crosstalk Across Adjacent Element XT' (dB)										
# - 5	# - 4	# - 3	# - 2	# - 1	Element Number #	# + 1	# + 2	# + 3	# + 4	# + 5
---	---	-37,5	-44,5	-40,3	129	-35,2	-41,0	-44,6	---	---
---	---	-45,2	-42,6	-35,0	130	-39,9	-41,1	-43,5	---	---
---	---	-42,0	-40,8	-39,8	131	-36,0	-40,5	-45,3	---	---
---	---	-45,0	-41,8	-35,1	132	-36,3	-44,3	-40,9	---	---
---	---	-43,4	-40,8	-36,0	133	-38,2	-42,6	-44,2	---	---
---	---	-46,0	-44,6	-37,7	134	-33,9	-40,0	-44,5	---	---
---	---	-40,2	-43,3	-33,3	135	-35,5	-42,9	-43,9	---	---
---	---	-44,9	-39,8	-34,6	136	-40,4	-43,9	-44,7	---	---
---	---	-44,0	-43,0	-40,3	137	-37,3	-39,7	-42,6	---	---
---	---	-44,0	-43,2	-36,8	138	-34,3	-40,8	-42,8	---	---
---	---	-44,6	-37,8	-34,5	139	-38,3	-39,5	-42,0	---	---
---	---	-43,1	-40,7	-38,1	140	-34,2	-36,2	-42,5	---	---
---	---	-41,3	-40,1	-34,1	141	-32,9	-39,7	-42,7	---	---
---	---	-43,1	-36,8	-33,3	142	-39,0	-45,7	-55,0	---	---
---	---	-43,4	-39,7	-38,8	143	-34,5	-47,7	-55,1	---	---
---	---	-44,9	-46,7	-34,6	144	-43,3	-48,6	-54,7	---	---
---	---	-54,8	-48,6	-43,3	145	-38,9	-42,4	-43,6	---	---
---	---	-54,3	-49,1	-38,4	146	-41,7	-44,7	-42,8	---	---
---	---	-54,1	-43,1	-41,7	147	-36,9	-43,3	-48,3	---	---
---	---	-43,4	-44,8	-37,1	148	-37,6	-45,4	-48,0	---	---
---	---	-41,0	-43,4	-38,0	149	-39,3	-44,2	-45,5	---	---
---	---	-48,0	-45,2	-39,9	150	-36,6	-41,3	-48,0	---	---
---	---	-47,7	-42,8	-36,9	151	-36,3	-45,0	-45,3	---	---
---	---	-45,4	-40,2	-36,4	152	-42,0	-46,0	-43,8	---	---
---	---	-48,1	-45,3	-42,1	153	-37,6	-39,9	-48,9	---	---
---	---	-45,3	-46,7	-37,5	154	-39,1	-47,0	-49,1	---	---
---	---	-43,2	-39,8	-38,9	155	-41,7	-47,2	-48,3	---	---
---	---	-48,4	-45,6	-41,8	156	-39,4	-42,0	-47,1	---	---
---	---	-48,7	-46,4	-39,3	157	-39,2	-45,0	-44,7	---	---
---	---	-48,6	-42,1	-36,8	158	-41,3	-43,0	-45,0	---	---
---	---	-48,6	-45,0	-41,2	159	-37,7	-40,7	-45,9	---	---
---	---	-44,6	-43,2	-37,7	160	-40,4	-46,0	-45,8	---	---
---	---	-44,1	-40,8	-40,1	161	-38,2	-45,9	-43,4	---	---
---	---	-44,5	-45,6	-38,1	162	-40,7	-39,0	-43,8	---	---
---	---	-45,2	-45,3	-40,3	163	-39,4	-42,1	-40,3	---	---
---	---	-45,2	-39,5	-39,3	164	-35,5	-42,5	-47,4	---	---
---	---	-44,0	-43,1	-35,4	165	-39,7	-42,6	-47,4	---	---
---	---	-41,2	-43,8	-39,5	166	-38,0	-42,4	-45,0	---	---
---	---	-45,9	-45,2	-38,0	167	-38,6	-46,8	-45,3	---	---
---	---	-47,8	-41,5	-39,1	168	-41,8	-46,3	-50,2	---	---
---	---	-46,3	-47,8	-41,4	169	-38,6	-41,0	-49,3	---	---
---	---	-45,6	-46,5	-38,3	170	-38,5	-45,9	-47,1	---	---
---	---	-49,1	-41,8	-39,2	171	-41,7	-41,6	-44,7	---	---
---	---	-48,3	-45,7	-41,3	172	-38,6	-42,0	-39,9	---	---
---	---	-47,4	-41,5	-38,9	173	-39,5	-45,5	-47,1	---	---
---	---	-45,0	-42,2	-38,9	174	-41,1	-43,8	-43,7	---	---
---	---	-39,5	-45,9	-41,4	175	-40,0	-42,6	-49,0	---	---
---	---	-47,7	-43,2	-38,9	176	-42,9	-42,6	-46,2	---	---
---	---	-44,9	-44,1	-42,7	177	-38,7	-41,9	-45,9	---	---
---	---	-48,8	-41,7	-39,2	178	-42,1	-46,1	-48,1	---	---
---	---	-45,3	-42,1	-42,0	179	-39,2	-42,5	-43,3	---	---
---	---	-46,5	-44,7	-38,7	180	-38,5	-45,3	-41,6	---	---
---	---	-47,5	-41,7	-37,5	181	-41,4	-45,9	-48,4	---	---
---	---	-44,0	-45,1	-40,0	182	-38,5	-39,4	-42,6	---	---
---	---	-42,0	-43,0	-39,1	183	-39,7	-44,7	-43,4	---	---
---	---	-47,9	-39,5	-40,3	184	-42,6	-40,9	-45,2	---	---
---	---	-44,7	-44,8	-42,6	185	-35,6	-43,4	-48,8	---	---
---	---	-44,0	-43,7	-36,0	186	-39,4	-46,2	-48,7	---	---
---	---	-45,7	-42,8	-39,2	187	-42,8	-46,6	-47,3	---	---
---	---	-48,6	-46,3	-42,7	188	-38,0	-42,3	-44,9	---	---
---	---	-48,5	-47,6	-37,4	189	-39,2	-46,4	-48,6	---	---
---	---	-48,1	-41,8	-40,7	190	-42,8	-45,3	-45,2	---	---
---	---	-44,9	-45,5	-42,5	191	-38,0	-44,0	-45,7	---	---
---	---	-48,0	-44,7	-37,4	192	-41,4	-41,8	-45,9	---	---
# - 5	# - 4	# - 3	# - 2	# - 1	Element Number #	# + 1	# + 2	# + 3	# + 4	# + 5

Transmission Crosstalk Across Adjacent Element XT' (dB)

Device Under Test (DUT)

Make	Model	No. of Elem./Row	No. of Row	Type of Array	Nominal Freq.	Serial Number
GE	ML6-15-RS	336	3	1.25D/1.5D Linear	4.3-13 MHz	224545YP4

(Active rows: all rows)



Ultrasound Transducer Assembly Analysis Report



3) Transmission Crosstalk Measurement with Optimum Drive Waveform Signal $B(t)$ (cont'd)

3.4) Data of measurement (cont'd)

Transmission Crosstalk Across Adjacent Element XT' (dB)										
# - 5	# - 4	# - 3	# - 2	# - 1	Element Number #	# + 1	# + 2	# + 3	# + 4	# + 5
---	---	-44,8	-42,1	-41,2	193	-35,4	-45,4	-39,6	---	---
---	---	-44,7	-44,0	-35,8	194	-42,5	-38,3	-42,0	---	---
---	---	-46,5	-45,2	-42,6	195	-38,0	-45,1	-49,3	---	---
---	---	-39,5	-38,4	-37,5	196	-37,9	-41,0	-48,0	---	---
---	---	-41,5	-43,4	-37,5	197	-40,3	-44,5	-47,3	---	---
---	---	-48,7	-39,7	-41,3	198	-38,6	-40,5	-40,1	---	---
---	---	-47,4	-44,4	-39,0	199	-37,9	-47,5	-47,8	---	---
---	---	-47,3	-37,9	-38,5	200	-41,1	-41,7	-48,4	---	---
---	---	-40,3	-47,4	-41,3	201	-37,4	-44,1	-49,8	---	---
---	---	-47,0	-42,4	-37,1	202	-38,1	-41,9	-42,1	---	---
---	---	-48,4	-44,4	-38,3	203	-41,9	-42,8	-43,9	---	---
---	---	-49,5	-42,1	-42,0	204	-39,2	-41,8	-42,7	---	---
---	---	-41,7	-42,0	-39,1	205	-38,8	-42,9	-42,9	---	---
---	---	-44,2	-42,2	-38,5	206	-41,2	-42,8	-54,8	---	---
---	---	-42,1	-42,4	-40,8	207	-35,1	-48,0	-54,9	---	---
---	---	-43,5	-42,4	-34,8	208	-44,2	-49,1	-54,6	---	---
---	---	-55,0	-47,8	-44,2	209	-36,8	-43,2	-45,5	---	---
---	---	-55,1	-48,8	-36,8	210	-38,6	-43,6	-42,1	---	---
---	---	-55,2	-43,6	-38,8	211	-36,1	-40,9	-44,5	---	---
---	---	-45,3	-41,3	-35,9	212	-35,2	-38,9	-41,9	---	---
---	---	-41,8	-40,9	-35,3	213	-38,2	-39,8	-41,8	---	---
---	---	-44,4	-38,3	-38,5	214	-34,2	-39,3	-42,2	---	---
---	---	-42,2	-40,3	-34,2	215	-38,0	-42,5	-45,7	---	---
---	---	-41,3	-40,5	-38,4	216	-39,2	-42,0	-42,7	---	---
---	---	-41,6	-42,3	-38,9	217	-42,0	-38,7	-44,7	---	---
---	---	-45,7	-41,8	-42,5	218	-36,8	-39,3	-41,0	---	---
---	---	-42,8	-39,3	-37,4	219	-40,8	-45,1	-42,8	---	---
---	---	-44,0	-40,3	-40,2	220	-38,4	-39,0	-44,7	---	---
---	---	-41,3	-43,6	-38,6	221	-37,2	-44,8	-43,8	---	---
---	---	-43,8	-38,6	-38,1	222	-37,9	-41,3	---	---	---
---	---	-45,1	-42,9	-37,9	223	-34,9	---	---	---	---
---	---	-43,2	-41,1	-34,9	224	---	---	---	---	---
---	---	---	---	---	225	-38,9	-42,2	-42,7	---	---
---	---	---	---	-40,2	226	-37,0	-43,6	-46,6	---	---
---	---	---	-41,7	-37,4	227	-38,2	-41,0	-46,2	---	---
---	---	-42,2	-44,2	-38,2	228	-39,1	-44,8	-42,0	---	---
---	---	-47,3	-40,6	-40,9	229	-40,7	-44,8	-46,9	---	---
---	---	-44,4	-40,9	-40,1	230	-38,6	-42,9	-45,0	---	---
---	---	-43,1	-43,3	-38,6	231	-39,0	-41,7	-45,9	---	---
---	---	-47,0	-45,0	-38,8	232	-39,9	-42,0	-46,9	---	---
---	---	-43,7	-41,1	-39,6	233	-38,8	-40,6	-42,0	---	---
---	---	-44,2	-41,4	-38,8	234	-40,6	-41,3	-44,9	---	---
---	---	-47,7	-40,8	-40,5	235	-39,4	-42,9	-44,8	---	---
---	---	-41,5	-40,7	-39,2	236	-36,6	-40,0	-43,0	---	---
---	---	-44,9	-42,4	-37,4	237	-38,8	-38,3	-44,8	---	---
---	---	-46,3	-39,8	-40,1	238	-41,4	-44,3	-42,7	---	---
---	---	-43,0	-39,4	-39,0	239	-37,2	-46,7	-46,1	---	---
---	---	-44,7	-44,6	-37,5	240	-41,7	-47,3	-44,9	---	---
---	---	-46,6	-46,6	-41,7	241	-36,0	-40,8	-48,1	---	---
---	---	-47,0	-47,0	-36,3	242	-37,6	-42,0	-42,1	---	---
---	---	-44,2	-39,8	-38,7	243	-34,8	-40,2	-43,6	---	---
---	---	-45,9	-41,3	-34,6	244	-40,1	-42,3	-44,2	---	---
---	---	-43,2	-40,6	-40,5	245	-37,7	-42,6	-44,1	---	---
---	---	-43,9	-44,5	-38,6	246	-36,7	-40,5	-42,8	---	---
---	---	-44,7	-44,4	-36,4	247	-33,7	-41,3	-44,5	---	---
---	---	-44,0	-40,5	-33,6	248	-37,7	-41,8	-45,9	---	---
---	---	-42,3	-41,6	-38,2	249	-37,8	-39,8	-43,0	---	---
---	---	-43,1	-40,1	-38,2	250	-37,3	-42,3	-42,9	---	---
---	---	-44,5	-39,9	-37,4	251	-36,6	-41,9	-40,4	---	---
---	---	-42,1	-41,0	-37,5	252	-34,5	-40,3	-43,6	---	---
---	---	-43,1	-41,7	-34,1	253	-33,7	-44,3	-43,2	---	---
---	---	-41,2	-40,8	-33,4	254	-40,6	-46,1	-39,3	---	---
---	---	-42,8	-44,7	-39,4	255	-35,8	-44,5	-45,5	---	---
---	---	-43,4	-42,4	-35,8	256	-40,7	-44,8	-44,1	---	---
# - 5	# - 4	# - 3	# - 2	# - 1	Element Number #	# + 1	# + 2	# + 3	# + 4	# + 5

Transmission Crosstalk Across Adjacent Element XT' (dB)

Device Under Test (DUT)

Make	Model	No. of Elem./Row	No. of Row	Type of Array	Nominal Freq.	Serial Number
GE	ML6-15-RS	336	3	1.25D/1.5D Linear	4.3-13 MHz	224545YP4

(Active rows: all rows)



Ultrasound Transducer Assembly Analysis Report



3) Transmission Crosstalk Measurement with Optimum Drive Waveform Signal $B(t)$ (cont'd)

3.4) Data of measurement (cont'd)

Transmission Crosstalk Across Adjacent Element XT' (dB)										
# - 5	# - 4	# - 3	# - 2	# - 1	Element Number #	# + 1	# + 2	# + 3	# + 4	# + 5
---	---	-38,3	-44,8	-41,1	257	-35,1	-40,1	-43,7	---	---
---	---	-45,4	-45,3	-35,1	258	-40,7	-42,5	-43,1	---	---
---	---	-43,6	-40,2	-40,9	259	-36,0	-38,0	-45,5	---	---
---	---	-43,8	-42,6	-35,4	260	-36,3	-44,8	-40,4	---	---
---	---	-43,4	-38,4	-36,7	261	-38,3	-38,9	-43,5	---	---
---	---	-44,8	-44,3	-37,9	262	-34,0	-40,1	-44,8	---	---
---	---	-40,5	-40,6	-34,3	263	-35,1	-42,6	-45,6	---	---
---	---	-43,7	-40,4	-34,4	264	-40,8	-43,9	-44,2	---	---
---	---	-44,4	-43,4	-40,4	265	-39,3	-37,4	-44,0	---	---
---	---	-45,7	-43,7	-37,1	266	-35,4	-41,3	-44,3	---	---
---	---	-44,2	-36,0	-35,1	267	-38,3	-42,4	-42,8	---	---
---	---	-43,4	-40,3	-37,8	268	-35,0	-38,6	-45,3	---	---
---	---	-43,7	-43,7	-34,7	269	-33,4	-41,1	-42,4	---	---
---	---	-43,6	-38,8	-33,2	270	-39,7	-47,3	-56,2	---	---
---	---	-44,5	-40,8	-39,5	271	-34,4	-48,0	-57,4	---	---
---	---	-44,6	-47,4	-34,4	272	-45,6	-50,5	-57,4	---	---
---	---	-56,9	-47,5	-45,7	273	-40,0	-44,0	-43,0	---	---
---	---	-56,2	-51,5	-39,4	274	-44,7	-44,8	-42,4	---	---
---	---	-56,6	-43,7	-44,9	275	-37,3	-40,1	-48,0	---	---
---	---	-43,4	-44,8	-37,5	276	-38,4	-47,8	-47,4	---	---
---	---	-40,1	-41,4	-39,6	277	-40,8	-45,4	-45,4	---	---
---	---	-47,7	-47,8	-41,3	278	-37,1	-42,5	-47,7	---	---
---	---	-47,9	-45,0	-37,3	279	-36,9	-44,9	-45,4	---	---
---	---	-45,8	-41,9	-36,5	280	-42,9	-46,9	-41,9	---	---
---	---	-48,0	-45,1	-42,9	281	-37,7	-40,5	-49,1	---	---
---	---	-45,4	-47,1	-37,3	282	-39,5	-47,2	-49,3	---	---
---	---	-42,2	-39,9	-39,2	283	-43,8	-49,0	-48,4	---	---
---	---	-48,5	-46,7	-43,8	284	-40,1	-42,9	-47,8	---	---
---	---	-48,8	-48,0	-40,3	285	-41,8	-43,5	-44,7	---	---
---	---	-49,3	-41,8	-38,2	286	-44,6	-42,5	-44,6	---	---
---	---	-49,1	-44,4	-44,6	287	-39,6	-41,9	-44,8	---	---
---	---	-43,3	-42,6	-39,5	288	-43,4	-49,6	-45,7	---	---
---	---	-43,7	-42,5	-42,7	289	-39,0	-44,2	-42,1	---	---
---	---	-44,3	-47,3	-39,0	290	-44,0	-38,2	-42,6	---	---
---	---	-45,0	-44,1	-43,4	291	-41,6	-44,0	-40,1	---	---
---	---	-43,8	-38,5	-41,8	292	-36,7	-43,2	-46,6	---	---
---	---	-43,0	-44,0	-36,1	293	-42,0	-41,0	-46,9	---	---
---	---	-40,7	-43,6	-41,5	294	-40,2	-42,3	-44,4	---	---
---	---	-45,3	-43,5	-39,8	295	-40,3	-49,7	-45,1	---	---
---	---	-47,4	-41,7	-42,0	296	-46,5	-48,1	-50,3	---	---
---	---	-45,7	-51,8	-44,9	297	-39,4	-39,9	-49,0	---	---
---	---	-45,1	-48,4	-41,2	298	-42,3	-42,0	-47,6	---	---
---	---	-50,0	-41,2	-41,6	299	-44,8	-42,0	-44,6	---	---
---	---	-47,8	-42,9	-44,5	300	-40,5	-44,6	-39,1	---	---
---	---	-46,8	-41,4	-40,1	301	-41,7	-45,4	-47,1	---	---
---	---	-44,5	-44,7	-41,5	302	-43,0	-44,8	-44,4	---	---
---	---	-40,1	-45,9	-43,0	303	-39,8	-44,0	-48,3	---	---
---	---	-47,9	-46,7	-39,3	304	-43,5	-44,3	-46,2	---	---
---	---	-46,8	-45,0	-43,3	305	-39,0	-44,2	-46,5	---	---
---	---	-49,0	-42,0	-39,8	306	-42,5	-43,9	-47,7	---	---
---	---	-45,4	-45,1	-42,5	307	-39,2	-44,9	-43,6	---	---
---	---	-47,4	-44,2	-38,1	308	-37,9	-44,9	-42,4	---	---
---	---	-47,8	-43,8	-37,3	309	-40,0	-45,3	-48,2	---	---
---	---	-43,6	-44,5	-39,9	310	-39,3	-41,2	-42,4	---	---
---	---	-43,7	-42,3	-40,7	311	-39,5	-44,1	-44,0	---	---
---	---	-47,7	-42,0	-40,1	312	-42,5	-44,8	-45,2	---	---
---	---	-44,8	-44,5	-42,4	313	-36,4	-45,9	-49,0	---	---
---	---	-44,4	-45,4	-36,2	314	-39,5	-46,0	-49,1	---	---
---	---	-45,8	-44,3	-40,6	315	-42,7	-49,1	-47,6	---	---
---	---	-48,8	-46,3	-42,8	316	-38,5	-42,4	-44,9	---	---
---	---	-48,9	-49,2	-37,0	317	-38,7	-45,5	-47,3	---	---
---	---	-48,3	-44,1	-41,0	318	-43,6	-44,5	-44,7	---	---
---	---	-44,9	-44,9	-43,2	319	-38,7	-43,9	-45,6	---	---
---	---	-48,1	-43,7	-37,8	320	-41,8	-45,1	-45,9	---	---
# - 5	# - 4	# - 3	# - 2	# - 1	Element Number #	# + 1	# + 2	# + 3	# + 4	# + 5

Transmission Crosstalk Across Adjacent Element XT' (dB)

Device Under Test (DUT)

Make	Model	No. of Elem./Row	No. of Row	Type of Array	Nominal Freq.	Serial Number
GE	ML6-15-RS	336	3	1.25D/1.5D Linear	4.3-13 MHz	224545YP4

(Active rows: all rows)



Ultrasound Transducer Assembly Analysis Report



3) Transmission Crosstalk Measurement with Optimum Drive Waveform Signal $B(t)$ (cont'd)

3.4) Data of measurement (cont'd)

Transmission Crosstalk Across Adjacent Element X_T (dB)										
# - 5	# - 4	# - 3	# - 2	# - 1	Element Number #	# + 1	# + 2	# + 3	# + 4	# + 5
---	---	-44,2	-42,4	-42,0	321	-34,8	-46,2	-38,9	---	---
---	---	-45,6	-46,0	-35,1	322	-43,5	-40,4	-42,5	---	---
---	---	-46,5	-44,5	-43,7	323	-38,1	-45,8	-49,7	---	---
---	---	-40,3	-40,3	-37,6	324	-37,8	-39,9	-48,0	---	---
---	---	-42,3	-47,2	-37,7	325	-41,3	-43,8	-47,5	---	---
---	---	-49,0	-40,1	-43,1	326	-39,2	-42,9	-40,1	---	---
---	---	-47,9	-43,4	-39,4	327	-38,6	-47,5	-48,0	---	---
---	---	-47,4	-43,6	-38,1	328	-42,0	-42,1	-47,5	---	---
---	---	-40,9	-48,2	-41,9	329	-38,0	-45,4	-50,3	---	---
---	---	-47,3	-42,6	-38,7	330	-39,1	-41,1	-45,0	---	---
---	---	-48,7	-44,5	-39,2	331	-43,0	-42,8	-43,9	---	---
---	---	-50,6	-41,0	-43,0	332	-39,9	-41,4	-42,3	---	---
---	---	-46,0	-42,2	-39,9	333	-39,0	-44,4	-44,5	---	---
---	---	-44,2	-40,6	-38,6	334	-41,9	-43,6	n/a	---	---
---	---	-42,4	-43,8	-41,3	335	-35,1	n/a	n/a	---	---
---	---	-43,2	-42,9	-34,9	336	n/a	n/a	n/a	---	---
# - 5	# - 4	# - 3	# - 2	# - 1	Element Number #	# + 1	# + 2	# + 3	# + 4	# + 5

Transmission Crosstalk Across Adjacent Element X_T (dB)

Device Under Test (DUT)

Make	Model	No. of Elem./Row	No. of Row	Type of Array	Nominal Freq.	Serial Number
GE	ML6-15-RS	336	3	1.25D/1.5D Linear	4.3-13 MHz	224545YP4

(Active rows: all rows)